

**ANALISIS HUBUNGAN KUANTITATIF STRUKTUR DAN AKTIVITAS
SENYAWA TURUNAN FLAVON SEBAGAI ANTIOKSIDAN
MENGUNAKAN METODE SEMI EMPIRIS
AUSTIN MODEL 1**



UNIVERSITAS ISLAM NEGERI
ALAUDDIN
M A K A S S A R

SKRIPSI

Diajukan Untuk Memenuhi Salah Satu Syarat Meraih Gelar Sarjana Sains
Jurusan Kimia pada Fakultas Sains dan Teknologi
Universitas Islam Negeri Alauddin Makassar

Oleh:

ARNADI NIRWAN

NIM. 60500117035

FAKULTAS SAINS DAN TEKNOLOGI
UNIVERSITAS ISLAM NEGERI ALAUDDIN
MAKASSAR

2021

PERYATAAN KEASLIAN SKRIPSI

Mahasiswa yang bertanda tangan dibawah ini:

Nama : Arnadi Nirwan
NIM : 60500117035
Tempat/ Tgl.Lahir : Dawi-dawi, 23 Januari 2000
Jurusan : Kimia
Judul : Hubungan Kuantitatif Struktur dan Aktivitas Senyawa Turunan Flavon sebagai Antioksidan Menggunakan Metode Semiempiris *Austin Model 1*

Menyatakan dengan sesungguhnya dan penuh kesadaran bahwa skripsi ini benar adalah hasil karya sendiri. Jika kemudian hari terbukti bahwa skripsi ini merupakan duplikat, tiruan, plagiat, atau dibuat oleh rang lain, sebagian atau seluruhnya, maka skripsi dan gelar yang diperoleh karenanya batal demi hukum.

Gowa, Juli 2021

Penulis,

Arnadi nirwan.
NIM: 60500117035

PERSETUJUAN PEMBIMBING

Pembimbing penelitian Saudara Arnadi Nirwan, NIM 60500117035, mahasiswa Jurusan Kimia pada Fakultas Sains dan Teknologi Universitas Islam Negeri Alauddin Makassar. Setelah meneliti dan mengoreksi secara seksama hasil penelitian yang berjudul “Hubungan Kuantitatif Struktur dan Aktivitas Senyawa Turunan Flavon sebagai Antioksidan Menggunakan Metode Semiempiris *Austin Model I*” memandang bahwa hasil penelitian tersebut telah memenuhi syarat-syarat ilmiah dan dapat disetujui untuk diseminarkan.

Demikian persetujuan ini diberikan untuk diproses lebih lanjut.

Gowa, Juli 2021

Pembimbing I



Aisyah, S.Si., M.Si.
NIP. 19810420 200604 2 002

Pembimbing II



Firnelty, S.Si., M.Si.
NIP. 19910214 201903 2 019

UNIVERSITAS ISLAM NEGERI
ALAUDDIN
MAKASSAR

KATA PENGANTAR

بِسْمِ اللَّهِ الرَّحْمَنِ الرَّحِيمِ

Alhamdulillah robbil ‘alamin. Segala puji atas kebesaran sang khalik Allah swt. yang telah menciptakan alam semesta dalam suatu keteraturan hingga dari lisan terpetik berjuta rasa syukur atas limpahan rahmat dan hidayah-Nya, sehingga kami diberikan kekuatan dan kesempatan menyelesaikan skripsi dengan judul **“Analisis Hubungan Kuantitatif Struktur dan Aktivitas Senyawa Turunan Flavon sebagai Antioksidan Menggunakan Metode Semiempiris Austin Model 1”**. Shalawat serta salam tak lupa pula penulis kirimkan kepada baginda Rasulullah Muhammad saw. yang karena perjuangannya kita dapat menikmati cahaya Islam yang terang benderang seperti sekarang ini.

Selama proses penyusunan skripsi ini tidak terlepas dari berbagai hambatan dan tantangan, tetapi semuanya dapat dilalui karena adanya dukungan, motivasi serta do’a dari berbagai pihak. Ucapan terima kasih yang tulus penulis berikan kepada:

1. Bapak Prof. H. Hamdan Juhannis, MA., Ph.D. selaku Rektor Universitas Islam Negeri Alauddin Makassar.
2. Bapak Prof. Dr. Muhammad Halifah Mustami, M.Pd. selaku Dekan Fakultas Sains dan Teknologi Universitas Islam Negeri Alauddin Makassar.
3. Bapak Dr. H. Asri Saleh, S.T., M.Si. selaku Ketua Jurusan Kimia Universitas Islam Negeri Alauddin Makassar.
4. Ibu Dr. Rismawaty Sikanna, S.Si., M.Si. selaku Sekretaris Jurusan Kimia Fakultas Sains dan Teknologi Universitas Islam Negeri Alauddin Makassar.
5. Ibu Aisyah, S.Si., M.Si. selaku dosen pembimbing I yang tiada henti memberi saran selama penyusunan skripsi ini.

6. Ibu Firnanelty, S.Si., M.Si. selaku dosen pembimbing II yang selalu meluangkan waktu dalam penyusunan skripsi ini.
7. Ibu Asriani Ilyas, S.Si., M.Si. selaku penguji I yang senantiasa memberi kritik dan saran dalam melengkapi skripsi ini.
8. Ibu Dr. Hj. Rahmi Damis, M.Ag. selaku penguji II yang senantiasa memberi kritik dan saran keagamaan dalam melengkapi skripsi ini
9. Bapak dan Ibu Dosen Jurusan Kimia Fakultas Sains dan Teknologi atas ilmu-ilmu yang telah diberikan selama menempuh pendidikan di bangku kuliah.
10. Para Laboran Jurusan Kimia Fakultas Sains dan Teknologi yang senantiasa memberikan bimbingan selama menempuh pendidikan di bangku kuliah.
11. Kedua orangtua bapak dan ibu tercinta, Bapak Nirwan dan Ibu Jumase yang telah memberikan kasih sayang, do'a, semangat, dan dukungan moril maupun materil.
12. Tim Penelitian HKSA Risjal dan M.Taufiq yang selalu saling memberi dukungan selama penelitian.
13. Tim Organik ORBITAL 17 yang selalu memberi dukungan dalam menyelesaikan skripsi ini.
14. Teman-teman keluarga besar ORBITAL 17 yang senantiasa memberi dukungan dalam menyelesaikan skripsi ini.
15. Orang-orang yang tidak bisa saya sebutkan satu persatu telah membantu selama proses penyusunan skripsi ini.

Gowa, Juli 2021

Penulis,

Arnadi Nirwan

DAFTAR ISI

HALAMAN JUDUL.....	i
PERYATAAN KEASLIAN SKRIPSI.....	ii
PERSETUJUAN PEMBIMBING.....	iii
KATA PENGANTAR	iv
DAFTAR ISI.....	vi
DAFTAR GAMBAR	viii
DAFTAR TABEL.....	viii
ABSTRAK	ix
<i>ABSTRACT</i>	xi
BAB I PENDAHULUAN	
A. Latar Belakang	1
B. Rumusan Masalah	5
C. Tujuan Penelitian.....	6
D. Manfaat Penelitian.....	6
BAB II TINJAUAN PUSTAKA	
A. Radikal Bebas dan Antioksidan	7
B. Senyawa Flavonoid	10
C. Metode Komputasi	13
D. Analisis Hubungan Kuantitatif Struktur-Aktivitas	14
E. Analisis Statistik dalam Hubungan Kuantitatif Struktur-Aktivitas ...	17
BAB III METODE PENELITIAN	
A. Waktu dan Tempat	18
B. Alat dan Bahan	18
C. Prosedur Penelitian.....	19

BAB IV HASIL DAN PEMBAHASAN

A. Hasil Penelitian.....	23
B. Pembahasan.....	30

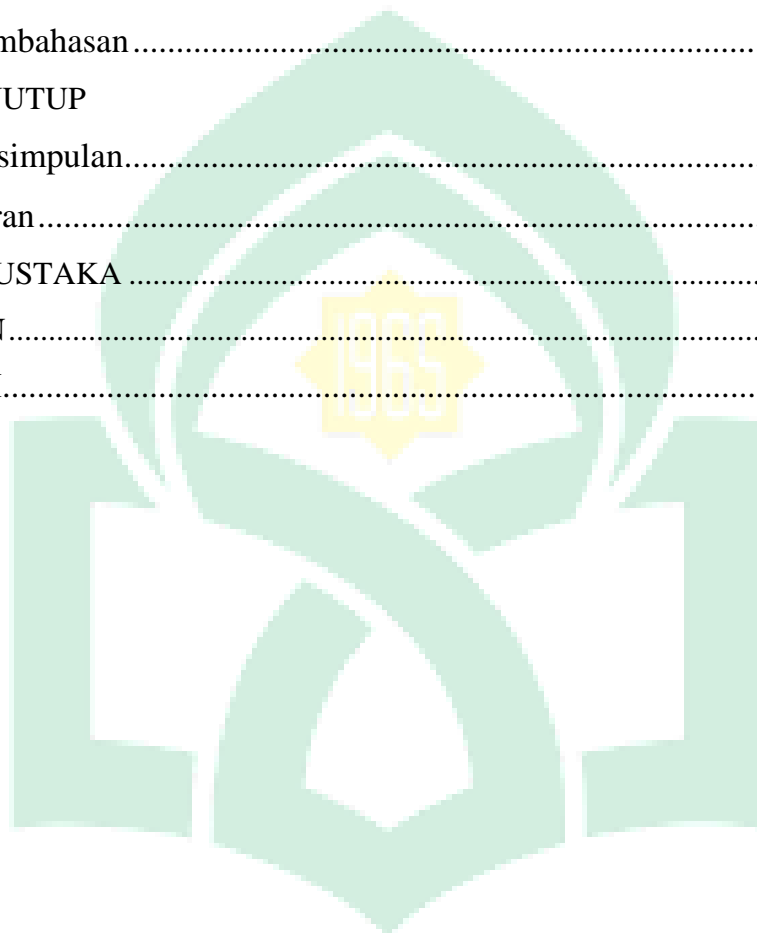
BAB V PENUTUP

A. Kesimpulan.....	39
B. Saran.....	39

DAFTAR PUSTAKA.....	40
---------------------	----

LAMPIRAN.....	44
---------------	----

BIOGRAFI.....	52
---------------	----



UNIVERSITAS ISLAM NEGERI
ALAUDDIN
M A K A S S A R

DAFTAR GAMBAR

Gambar 1.1 Struktur Dasar Flavon	2
Gambar 2.1 Struktur Dasar Flavonoid	10
Gambar 3.1 Pemodelan Struktur pada ChemSketch 14.0.1.1040	19
Gambar 3.2 Pemodelan Struktur 3D padaHyperChem.....	19
Gambar 3.3 Optimasi Geometri Metode Austin Model 1.....	20
Gambar 3.4 Deskriptor pada HyperChem	21
Gambar 4.1 Struktur Senyawa Flavon Glikosida dengan Penomoran.....	23
Gambar 4.2 Struktur Senyawa Flavon Glikosida dengan Penomoran Model <i>Stick</i> ...	23
Gambar 4.3 Struktur Senyawa Flavon Glikosida dengan Penomoran Model <i>Stick</i> sand <i>Balss</i>	23
Gambar 4.4 Struktur Senyawa Turunan Flavon dan Nilai IC_{50} eksp.....	24
Gambar 4.5 Senyawa Flavon Glikosida sebelum Dioptimasi.....	25
Gambar 4.6 Senyawa Flavon Glikosida setelah Dioptimasi.....	25
Gambar 4.7 Kurva Korelasi Log IC_{50} Eksp Persamaan Model 4 HKSA	28
Gambar 4.8 Senyawa 15-Metoksi-Baicalin 2D	29
Gambar 4.9 Senyawa 15-Metoksi-Baicalin 3D	29

UNIVERSITAS ISLAM NEGERI
ALAUDDIN
MAKASSAR

DAFTAR TABEL

Tabel 2.1 Penggolongan Senyawa Flavonoid	11
Tabel 2.2 Turunan Senyawa Flavon.....	12
Tabel 3.1 Deskriptor yang Digunakan	21
Tabel 4.1 Data Energi Total dan Panas Pembentukan Senyawa Turunan Flavon	25
Tabel 4.2 Deskriptor Elektronik Senyawa Turunan Flavon Menggunakan Metode Semiempiris AM1.....	26
Tabel 4.3 Harga Muatan Atom Bersih Senyawa Turunan Flavon Menggunakan Metode Semiempiris AM-1	26
Tabel 4.4 Data Deskriptor Senyawa Turunan Flavon Menggunakan Metode HKSA	27
Tabel 4.5 Hasil Statistika Persamaan Model HKSA Menggunakan Metode MLR...27	
Tabel 4.6 Data Persamaan Model yang Dihasilkan Menggunakan Metode MLR27	
Tabel 4.7 Model Persamaan yang Dihasilkan Menggunakan Metode MLR.....27	
Tabel 4.8 Nilai PRESS dan Hasil Perbandingan Aktivitas Antioksidan Eksperimen dengan Nilai Prediksi dari 4 Model Persamaan	28
Tabel 4.9 Nama Senyawa dan Nilai Aktivitas Turunan Flavon Baru.....	29

UNIVERSITAS ISLAM NEGERI
ALAUDDIN
MAKASSAR

ABSTRAK

NAMA : Arnadi Nirwan
NIM : 60500117035
Jurusan : Kimia
Fakultas : Sains dan Teknologi
Judul : Analisis Hubungan Kuantitatif Struktur dan Aktivitas Senyawa Turunan Flavon sebagai Antioksidan Menggunakan Metode Semiempiris *Austin Model 1*

Penelitian tentang Hubungan Kuantitatif Struktur-Aktivitas terhadap senyawa turunan flavon telah berhasil dilakukan menggunakan metode semiempiris AM 1 dengan deskriptor elektronik, hidrofobik dan sterik. Berdasarkan perhitungan simulasi komputasi, diperoleh variabel yang memiliki pengaruh paling besar terhadap aktivitas antioksidan turunan senyawa flavon yaitu muatan atom bersih dan momen dipol dengan persamaan: $\text{Log IC}_{50} = -0.714 - (43.425 * qO17) - (18.455 * qC15) - (0.048 * MD) - (92.486 * qC2)$, $n = 8$; $R = 0.976$; $R^2 = 0.952$; $SE = 0.2231$; $PRESS = 0.00002704$. Persamaan ini sebagai landasan untuk mendesain senyawa baru yang akan memiliki nilai aktivitas biologis lebih baik dari senyawa turunan flavon sebelumnya. Berdasarkan proses desain senyawa baru, diperoleh senyawa 15-metoksi-baicalin yang memiliki nilai aktivitas antioksidan lebih baik dengan nilai $\text{Log IC}_{50} = -2.5424$. Semakin kecil nilai IC_{50} suatu senyawa menggambarkan semakin baik aktivitas antioksidan senyawa tersebut. Nilai IC_{50} diartikan sebagai konsentrasi efektif yang dibutuhkan untuk mengurangi 50% dari total radikal bebas.

Kata Kunci: Antioksidan, Flavon, HKSA, AM1

ABSTRACT

Name : Arnadi Nirwan
NIM : 60500117035
Majors : Chemistry
Faculty : Science and Technology
Topic : Analysis of Quantitative Relationship on Structure and Activity of Flavone Derivatives as an Antioxidant using the Austin Model 1 Semiempirical Method

Research on the quantitative structure-activity relationship of flavone derivatives has been successfully carried out using the AM 1 semiempirical method with electronic, hydrophobic and steric descriptors. Based on computational simulation calculations, the variables that have the greatest influence on the antioxidant activity of flavone derivatives are net atomic charge and dipole moment with the equation: $\text{Log IC}_{50} = -0.714 - (43.425 * qO17) - (18.455 * qC15) - (0.048 * MD) - (92.486 * qC2)$, $n = 8$; $R = 0.976$; $R^2 = 0.952$; $SE = 0.2231$; $PRESS = 0.00002704$. This equation serves as the basis for designing new compounds that will have better biological activity values than previous flavone derivatives. Based on the design process for the new compound, 15-methoxy-baicalin was obtained which has a better antioxidant activity value with a Log IC_{50} value = -2.5424. The smaller the IC_{50} value of a compound, the better the antioxidant activity of the compound. The IC_{50} value is defined as the effective concentration required to reduce 50% of the total free radicals.

Keywords: Antioxidant, Flavone, QSAR, AM1

BAB I

PENDAHULUAN

A. Latar Belakang

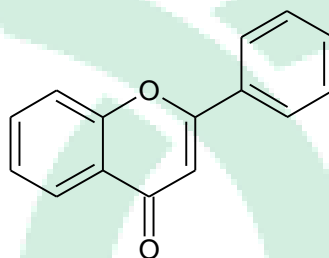
Reaksi oksidasi terjadi setiap saat dalam tubuh manusia termasuk ketika bernafas dan proses metabolisme. Reaksi ini dapat menyebabkan terbentuknya radikal bebas. Radikal bebas digambarkan sebagai suatu atom, molekul ataupun senyawa yang memiliki satu atau lebih elektron yang tidak berpasangan pada orbit paling luar (Yuslianti, 2018: 1). Jumlah radikal bebas dapat mengalami peningkatan yang diakibatkan oleh faktor stress, radiasi, dan polusi lingkungan baik bersumber dari asap kendaraan maupun asap pabrik. Peningkatan ini menyebabkan sistem pertahanan tubuh tidak stabil dan menimbulkan berbagai macam penyakit sehingga tubuh memerlukan tambahan antioksidan agar tetap terlindungi dari serangan radikal-radikal bebas.

Antioksidan berperan sangat penting dalam menjaga kestabilan tubuh makhluk hidup. Antioksidan bekerja dengan mendonorkan atom hidrogen ke radikal hidroksil sehingga terbentuk air, dengan kata lain dua radikal aktif yang berbahaya bergabung membentuk sebuah molekul yang tidak berbahaya untuk menghambat atau mencegah kerusakan atau kehancuran akibat reaksi oksidasi (Youngson, 2005: 18). Senyawa metabolit sekunder yang diketahui memiliki sifat antioksidan yaitu flavonoid.

Flavonoid dapat bertindak sebagai antioksidan melalui dua mekanisme yaitu flavonoid menghambat kerja enzim yang terlibat dalam reaksi produksi anion superoksida, flavonoid juga mengikat logam kelumit yang terlibat dalam reaksi yang menghasilkan radikal bebas. Flavonoid dengan potensi reduksi yang rendah

meredamkan radikal bebas dengan jalan mereduksi radikal superoksida, peroksil, alkoksil dan hidroksil. Proses tersebut dijelaskan melalui eksperimen yang telah dilakukan (Simamora, 2009: 14).

Flavonoid memiliki struktur dasar flavan yang terdiri dari 15 atom karbon dan tersusun dalam tiga cincin yang diberi label cincin A, cincin B dan cincin C. Banyak subkelas dari senyawa flavonoid seperti flavanon, isoflavon, flavonol, flavanol dan flavon (Pietta, 2000: 1036). Perbedaan antara flavon dan flavonol adalah pada flavon tidak ditemukannya gugus hidroksil pada atom C-3. Flavon yang sering dijumpai adalah apigenin dan luteolin (Arifin dan Ibrahim, 2018: 23).



Gambar 1.1 Struktur Dasar Flavon

Senyawa yang memiliki kemampuan untuk menangkal radikal bebas (antioksidan) umumnya pendonor atom hidrogen (H), sehingga atom H tersebut dapat ditangkap oleh radikal DPPH untuk berubah menjadi bentuk netralnya (Dungir, dkk., 2012: 14). Parameter uji aktivitas antioksidan adalah *Inhibition Concentration* (IC_{50}). Nilai IC_{50} menggambarkan konsentrasi efektif ekstrak yang dibutuhkan untuk meredam 50% dari total radikal bebas (Julizan, dkk., 2019: 43). Isolat flavonoid daun johan memiliki aktivitas antioksidan dengan harga IC_{50} sebesar 139, 8373 mg/L. Berdasarkan identifikasi isolat flavonoid menggunakan spektrofotometer UV-Vis menunjukkan bahwa isolat flavonoid memiliki struktur dasar senyawa flavon (Ningrum, dkk., 2017: 128). Senyawa flavonoid memiliki

peranan yang kuat sebagai senyawa yang memiliki aktivitas antioksidan. Berdasarkan alat *Nuclear Magnetic Resonance* (NMR) diduga golongan flavonoid dalam buah lindur adalah flavonol, glikosilflavon dan flavon (Sudirman, dkk., 2016: 98). Hubungan antara aktivitas antioksidan senyawa flavon terhadap strukturnya dapat digambarkan secara kuantitatif menggunakan metode HKSA.

Metode pemodelan Hubungan Kuantitatif Struktur-Aktivitas (HKSA) dikatakan sebagai sebuah bentuk pengembangan dari ilmu kimia komputasi. Prinsip kerja pada metode ini sudah teratur dengan baik pada suatu sistem (program) dan database. Metode ini dapat menggambarkan seberapa besar pengaruh struktur terhadap aktivitas biologis suatu senyawa (Hadaji, dkk., 2018: 14).

Pengembangan ilmu pengetahuan telah diisyaratkan oleh Allah swt. dalam Q.S Al-Alaq/96:1-2.

أَقْرَأْ بِاسْمِ رَبِّكَ الَّذِي خَلَقَ الْإِنْسَانَ مِنْ عَلَقٍ

Terjemahnya:

“Bacalah dengan (menyebut) nama Tuhanmu Yang menciptakan, Dia telah menciptakan manusia dari segumpal darah.” (Kementrian Agama RI, 2013).

Menurut tafsir Quraish Shihab, ayat di atas bagaikan menyatakan bacalah wahyu-wahyu ilahi yang sebentar lagi akan banyak engkau terima dan baca juga alam dan masyarakatmu. Bacalah agar engkau membekali dirimu dengan kekuatan pengetahuan. Bacalah semua itu tetapi dengan syarat hal tersebut engkau lakukan dengan atau demi nama tuhan yang selalu memelihara dan membimbingmu dan yang menciptakan semua makhluk kapan dan di manapun. Kata *iqra'* terambil dari kata *qara'a* yang pada mulanya berarti menghimpun. Realisasi perintah tersebut tidak mengharuskan adanya suatu teks tertulis sebagai objek bacaan, tidak pula harus diucapkan sehingga terdengar oleh orang lain. Karenanya, dalam kamus ditemukan aneka ragam arti dari kata tersebut antara lain menyampaikan, menelaah, membaca,

mendalami, meneliti mengetahui ciri-ciri sesuatu dan sebagainya yang kesemuanya bermuara pada arti menghimpun. Kata *rabb* seakar dengan kata *tarbiyah*. Kata ini memiliki arti yang berbeda-beda namun pada akhirnya arti-arti itu mengacu kepada pengembangan, peningkatan, ketinggian, kelebihan serta perbaikan. Ayat ini mengisyaratkan pengembangan ilmu pengetahuan dengan cara memperhatikan apa-apa yang ada di langit dan dibumi. Metode HKSA merupakan salah satu bentuk pengembangan ilmu komputasi untuk mengetahui hubungan struktur terhadap aktivitas biologis senyawa secara kuantitatif tanpa memerlukan waktu yang lama.

Metode HKSA digunakan pada pemodelan senyawa khrisin untuk menghasilkan senyawa baru dengan aktivitas antioksidan yang tinggi dengan penambahan gugus alkoksi menggunakan metode RM1 dalam menghitung deskriptor. Hasil korelasi menunjukkan bahwa momen dipol dan gugus metoksi yang Dapat meningkatkan aktivitas antioksidan senyawa khrisin (Nisa, dkk., 2015: 160).

Pengembangan senyawa turunan indol sebagai anti histamin 4 juga telah dilakukan dengan pemodelan HKSA menggunakan metode semiempirik AM1. Terdapat hubungan kuantitatif antara senyawa turunan indol dan aktivitas biologisnya. Senyawa turunan indol dimodelkan dengan deskriptor yang paling berpengaruh, baik itu sifat elektronik maupun sifat polaritasnya semua dihitung dengan baik dari hasil perhitungan AM1 (Nugraha, dkk. 2019: 213). Penentuan model persamaan Hubungan Kuantitatif Struktur Aktivitas (HKSA) pada senyawa turunan 4-Fenoksipirimidin-5-karboksiamida dapat dikerjakan dengan metode semiempirik AM1 karena metode ini memiliki tingkat ketelitian yang cukup tinggi dan waktu perhitungannya relatif cepat sehingga mampu menghasilkan satu model persamaan yang sangat baik (valid) dalam memprediksi sifat bioaktivitas suatu senyawa turunan yang dikaji (Asmara, 2019: 105).

Metode AM1 dalam analisis Hubungan Kuantitatif Struktur Aktivitas (HKSA) digunakan untuk mengoptimasi struktur secara geometri. Optimasi dari AM1 dapat menghasilkan struktur yang optimal dengan nilai energi total sebesar (-81997.5068263) hampir mendekati nol (Rakhman, dkk., 2019: 116). Validasi metode optimasi (membandingkan antara empat metode semiempirik dengan metode ab initio) salah satu cara untuk memilih metode yang lebih tepat untuk analisis HKSA. Hasil validasi tersebut kemudian digunakan pada pemodelan senyawa antidiabetik turunan triazolpiperazin amida. Secara numerik, hanya metode AM1 dan PM3 yang mendekati hasil dari perhitungan metode ab initio (Asmra, dkk., 2017).

Berdasarkan dari latar belakang di atas maka dilakukan penelitian ini dengan melakukan pemodelan turunan senyawa flavon untuk mengetahui deskriptor yang paling mempengaruhi aktivitas biologis senyawa turunan flavon, mengetahui model persamaan Hubungan Kuantitatif Struktur-Aktivitas (HKSA) pada senyawa turunan flavon dengan analisis regresi multilinier, dan mengetahui hasil prediksi aktivitas biologis dari senyawa baru hasil modifikasi senyawa turunan flavon.

B. Rumusan Masalah

Rumusan masalah pada penelitian ini adalah sebagai berikut:

1. Deskriptor apa saja yang sangat mempengaruhi aktivitas antioksidan senyawa turunan flavon?
2. Bagaimana model persamaan terbaik yang dihasilkan dari pemodelan HKSA senyawa turunan flavon?
3. Bagaimana hasil prediksi aktivitas antioksidan dari senyawa baru hasil modifikasi senyawa turunan flavon?

C. Tujuan Penelitian

Tujuan pada penelitian ini adalah sebagai berikut:

1. Mengetahui deskriptor yang mempengaruhi aktivitas antioksidan senyawa turunan Flavon.
2. Mengetahui model persamaan terbaik yang dihasilkan dari pemodelan HKSA senyawa turunan flavon.
3. Mengetahui hasil prediksi aktivitas antioksidan dari senyawa baru hasil modifikasi senyawa turunan flavon.

D. Manfaat Penelitian

Manfaat pada penelitian ini adalah sebagai berikut:

1. Memberikan pemahaman yang lebih luas tentang HKSA.
2. Menjadikan hasil pemodelan senyawa sebagai acuan untuk sintesis senyawa flavonoid (flavon).
3. Memberikan informasi tentang cara memprediksi senyawa baru dengan langkah yang tidak memakan waktu lama.

BAB II

TINJAUAN PUSTAKA

A. Radikal Bebas dan Antioksidan

Radikal bebas merupakan spesies kimiawi dengan satu elektron tak berpasangan di orbital terluar. Keadaan kimiawi tersebut sangat tidak stabil dan mudah bereaksi dengan zat kimia anorganik atau organik, saat dibentuk dalam sel radikal bebas segera menyerang dan mendegradasi asam nukleat serta berbagai molekul membran. Selain itu, radikal bebas menginisiasi reaksi autokatalitik sebaliknya, molekul yang bereaksi dengan radikal bebas diubah menjadi radikal bebas yang dapat memperbanyak rantai kerusakan (Robbins, 2004: 10).

Radikal bebas merupakan suatu molekul yang memiliki elektron tidak berpasangan pada orbital terluarnya sehingga sangat reaktif. Radikal ini cenderung mengadakan reaksi berantai yang apabila terjadi di dalam tubuh akan dapat menimbulkan kerusakan-kerusakan yang berlanjut dan terus menerus. Tubuh manusia memiliki sistem pertahanan endogen terhadap serangan radikal bebas terutama terjadi melalui peristiwa metabolisme sel normal dan peradangan (Wahdaningsih, 2011: 157). Radikal bebas dapat terbentuk melalui peristiwa metabolisme sel normal, kekurangan gizi dan akibat respon terhadap pengaruh luar tubuh. Radikal bebas berperan dalam terjadinya berbagai penyakit degeneratif karena radikal bebas dapat merusak makromolekul lipid membran sel, DNA dan protein (Kusbandari dan Hari, 2017: 38).

Tubuh manusia secara terus menerus memproduksi radikal bebas sebagai produk samping dari proses metabolisme normal tubuh. Dalam keadaan normal pembentukan radikal bebas akan diikuti oleh pembentukan antioksidan sehingga

terjadi keseimbangan antara radikal bebas dan antioksidan (Khaira, 2010: 187). Radikal bebas dihasilkan dari hasil metabolisme tubuh dan faktor eksternal seperti hasil penyinaran ultra violet, zat kimiawi dalam makanan dan polutan lain (Werdhasari, 2014: 60). Masuknya logam berat (timbal) ke dalam tubuh manusia akan mengganggu keseimbangan molekul lain sehingga menjadi radikal bebas (Kamilatussaniah, dkk., 2015: 108).

Radikal bebas menstabilkan diri dengan mengambil elektron dari molekul lain. Radikal bebas dapat menyebabkan stres oksidatif saat jumlahnya di dalam tubuh berlebihan, keadaan ini akan menyebabkan kerusakan oksidatif pada tingkat sel, jaringan hingga organ yang akan mempercepat proses penuaan dan timbulnya penyakit. Aktivitas antioksidan sangat diperlukan untuk menangkal stres oksidatif (Simajuntak dan Zulham, 2020: 124). Antioksidan bekerja menetralkan radikal bebas dalam tubuh. Antioksidan menghalangi proses oksidasi dengan cara meredam radikal bebas. Zat ini bekerja dengan pemutusan reaksi berantai radikal bebas dalam tubuh dan pencegahan inisiasi radikal bebas (Ramadani, 2011: 40).

Antioksidan adalah molekul eksogen atau endogen yang dapat mengurangi segala bentuk stres oksidatif / nitrosatif atau konsekuensi yang lainnya. Sifat dari antioksidan dapat bertindak secara langsung memulung radikal bebas hingga meningkatkan pertahanan antioksidan. Kekurangan antioksidan dapat disebabkan dari penurunan asupan antioksidan, sintesis enzim endogen atau peningkatan pemanfaatan antioksidan itu sendiri (Kurutas, 2016: 1). Antioksidan merupakan senyawa yang memiliki peran yang sangat penting dalam menjaga kesehatan karena dapat menangkap molekul radikal sehingga menghambat reaksi oksidatif dalam tubuh yang merupakan penyebab timbulnya penyakit (Adawiah, dkk., 2015: 130).

Antioksidan diperlukan untuk mencegah terjadinya stres oksidatif yang berperan penting dalam terjadinya penyakit degeneratif. Mekanisme perlawanan tubuh terhadap stres oksidatif adalah melalui antioksidan endogen, maka tubuh memerlukan asupan antioksidan yang didapat dari makanan atau obat-obatan (Werdhasari, 2014: 59). Senyawa antioksidan dapat mengimbangi radikal bebas dalam tubuh agar tidak terjadi kerusakan. Berbagai antioksidan sebagian besar terkandung dalam makanan dan tanaman obat-obatan. Seperti polifenol, vitamin, karoten, dan flavonoid dalam sayuran dan buah-buahan (Okawa, dkk., 2001: 1204).

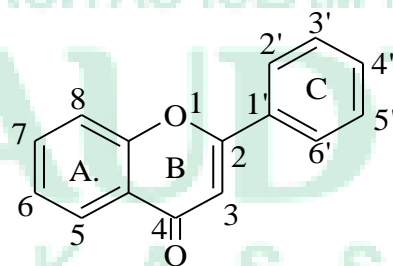
Salah satu buah yang memiliki sifat antioksidan yaitu rambutan. (Roshadi, dkk., 2013) telah melaporkan bahwa buah rambutan memiliki aktivitas antioksidan, dengan daya antioksidan sebesar 3000-4000 rpm. Selain buah rambutan, batang tanaman pakis juga mampu meredam radikal bebas. Kemampuan meredam radikal bebas DPPH isolat batang pakis lebih kecil dari pada kemampuan kuersetin. Nilai IC_{50} dari isolat batang pakis adalah 178,4 $\mu\text{g}/\text{mL}$ lebih besar dari kuersetin yaitu 2,17 $\mu\text{g}/\text{mL}$ (Wahdaningsih, 2011:160).

Kemampuan meredam radikal bebas juga dimiliki oleh tumbuhan *Ageratum Conyzoides* Linn. Ekstrak alkohol pada tumbuhan ini menunjukkan aktivitas antioksidan yang cukup kuat pada pembersihan radikal DPPH dengan nilai IC_{50} 24,8 $\mu\text{g}/\text{mL}$. Hal ini mungkin disebabkan karena adanya senyawa flavonoid dan fenol pada tumbuhan tersebut (Shekhar dan Anju, 2014: 244). Tanaman Patilaka yang berasal dari keluarga *Zingiberaceae* memiliki aktivitas yang kuat pada metanol ekstrak daun dengan nilai IC_{50} 30,65 mg/mL (Handayani, dkk., 2014: 86).

B. Senyawa Flavonoid

Flavonoid adalah kelompok dengan berat molekul rendah berbasis inti 2-fenil-kromon yang merupakan biosintesis dari turunan asam asetat / fenilalanin dengan menggunakan jalur asam shikimat. Secara tradisional, flavonoid diklasifikasikan dengan tingkat oksidasi, annularitas cincin C, dan sambungan posisi cincin B (Wang, dkk., 2018: 13). Flavonoid memiliki sifat sebagai antioksidan, aktivitas antioksidan dapat meningkat dengan bertambahnya gugus hidroksil dan turun dengan adanya glikolisasi. Aktivitas pemadaman radikal bebas ditentukan oleh adanya gugus katekol pada cincin B struktur flavonoid. Gugus katekol dapat menjadi target radikal untuk berikatan karena bersifat donor elektron yang lebih baik. Ikatan ganda terkonjugasi dengan gugus 4-okso meningkatkan kestabilan radikal yang dihasilkan karena menghasilkan delokalisasi elektron (Simamora, 2009: 11).

Flavonoid merupakan salah satu senyawa alami yang banyak ditemukan dalam tumbuhan-tumbuhan dan makanan yang menjanjikan untuk mengobati berbagai penyakit seperti kanker, antioksidan, bakteri patogen, radang, disfungsi kardio-vaskular, dan mempunyai kemampuan antioksidannya dalam mencegah terjadinya luka akibat radikal bebas (Arifin dan Ibrahim, 2018: 27).

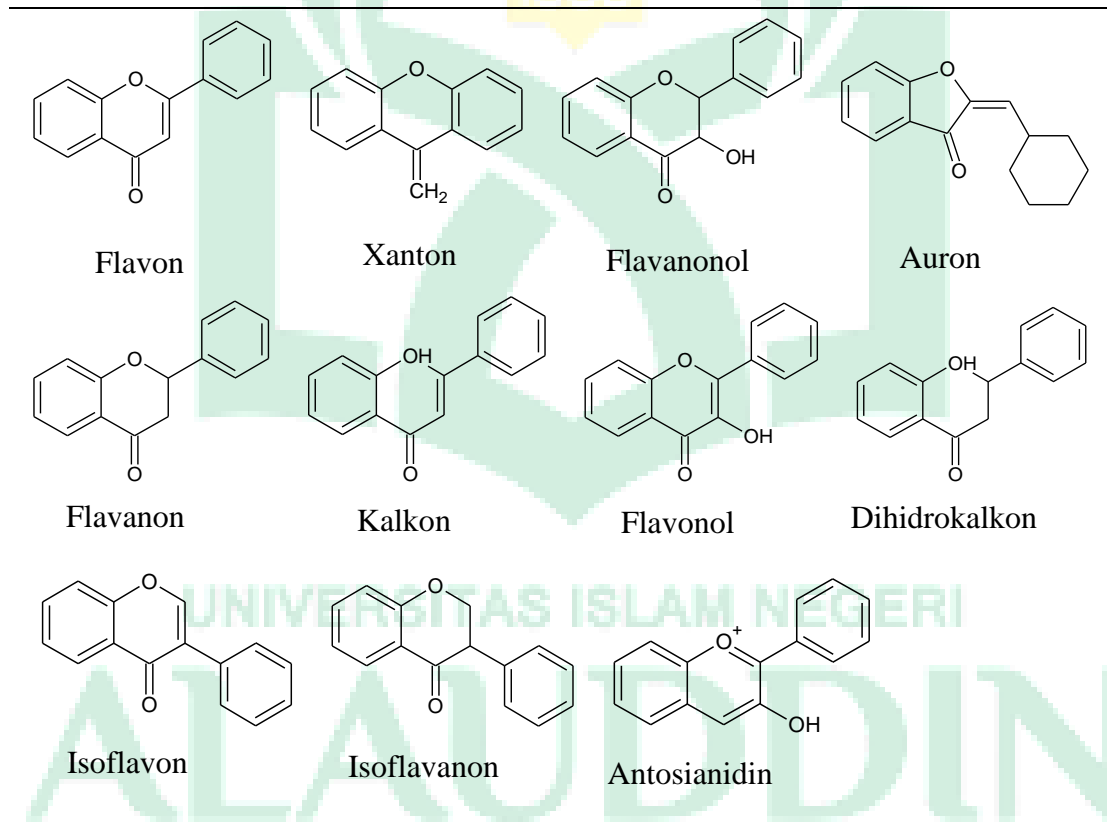


Gambar 2.1 Struktur Dasar Flavonoid

(Wang, dkk., 2018: 13)

Flavonoid terbagi menjadi beberapa subkelas yaitu flavanols, flavanon, flavon, isoflavon, anthocyanidins, dan flavonol. Pembagian dalam subkelas flavonoid didasarkan pada sifat-sifat struktural. Flavanol ditemukan dalam anggur merah dan anggur merah (ex-catechins), flavanon ditemukan pada makanan sitrus (ex-narigenin), flavon (ex-apigenin) ditemukan dalam bumbu berdaun hijau, isoflavon ditemukan pada makanan kedelai, dan pada hampir semua makanan flavonol ditemukan (Arifin dan Ibrahim, 2018: 27).

Tabel 2. 1 Penggolongan Senyawa Flavonoid



(Wang, dkk., 2018: 14)

Perbedaan antara flavon dan flavonol adalah pada flavon tidak ditemukannya gugus hidroksil pada atom C-3. Flavon yang sering dijumpai adalah apigenin dan luteolin. Flavonoid ini secara signifikan banyak ditemukan pada beberapa bagian

tanaman seperti buah dan sayuran yang berperan sebagai neurotrophin dalam mamalia, mengurangi angiogenesis, zat antioksidan, resistensi terhadap perubahan morfologi penuaan (Arifin dan Ibrahim, 2018: 23-24). Senyawa flavon (7-hidroksi-8-metoksiflavon) memiliki aktivitas antioksidan yang kuat secara signifikan mencegah kematian sel oksidatif dengan menghambat akumulasi ROS dalam sel endotel. Aktivitas antioksidan yang dimiliki oleh senyawa flavon (7-hidroksi-8-metoksiflavon) tidak menginduksi penyakit lain yang berhubungan dengan peningkatan kadar stres oksidatif dalam sel endotel (Koirala, dkk., 2014: 137).

Sumber flavon dapat ditemukan di dalam tumbuhan dan buah-buahan (Hasanah, 2015: 580). Karakterisasi senyawa hasil isolasi ekstrak metilena klorida pada lengkuas putih mengandung senyawa flavonoid. Berdasarkan spektra UV-Vis dan IR menunjukkan adanya gugus aromatik dan gugus -OH, -C=O, -CH alifatik dan -C-O. Senyawa ini diduga kuat sebagai senyawa flavonoid dari golongan flavon (Jayanti, dkk., 2012: 100).

No	Nama Senyawa (Glikosida)	R1	R2
1.	Isovitexin	H	H
2.	Saponarin	Glc	H
3.	Isovitexin 4',7-diglucoside	Glc	Glc
4.	Isovitexin 7-rhamnosylglucoside	Rha(1→6)Glc	H
5.	6'''-Sinapoylsaponarin	Sinapoyl-Glc	H
6.	6'''-Feruloylsaponarin	Feruloyl-Glc	H
7.	4'-Glucosyl-6'''-sinapoylsaponarin	Sinapoyl-Glc	Glc
8.	Baicalin	GlcA	-

Tabel 2. 2 Turunan Senyawa Flavon

(Okawa, dkk., 2001: 1203)

C. Metode Komputasi

Kimia komputasi bagian ilmu kimia yang dapat mempresentasikan struktur molekul sebagai model numerik. Perangkat lunak yang tersedia dalam mendorong ilmuan untuk mendapatkan hasil dengan mudah dan menyajikan data molekul termasuk geometrik, energi dan sifat-sifat yang terkait (seperti sifat elektronik, spektroskopi dan sifat lainnya). Kimia komputasi dapat menghasilkan gambaran struktur dalam berbagai model dan memiliki aktifitas yang sama dengan persamaan kuantum dari fisika klasik (Azizah, dkk., 2013: 1-2). Dalam metode komputasi dikenal teori *Density Functional Theory* (DFT) dan Basis set.

Density Functional Theory (DFT) merupakan salah satu metode komputasi yang digunakan untuk perhitungan kimia. Metode ini dapat menyelesaikan persamaan *Schrödinger* secara sederhana karena didasarkan pada densitas elektron. Telah dilakukan penentuan geometri dan karakteristik ikatan dari senyawa kompleks Ni(II)-dibutilditiokarbamat dengan fungsi B3YLP, B3PW91 dan BLYP. Basis set yang digunakan adalah LANL2DZ dan perangkat lunak Gaussian 03W. Hasil optimasi geometri Ni(II)-dibutilditiokarbamat menunjukkan bentuk struktur yang sama dengan Ni(II)-dibutilditiokarbamat sebagai data pembandingan, yaitu persegi planar (Pongajow, dkk., 2017: 33-36).

Metode *Density Functional Theory* (DFT) dapat digunakan untuk mengetahui inhibisi korosi senyawa khellin dan visnagin pada atom besi dengan tingkatan basis set B3LYP/6-311H (d, p) menggunakan perangkat lunak Gaussian. Menggunakan parameter kimia kuantum yaitu energi orbital molekul tertinggi yang berisi elektron (E_{HOMO}), energi orbital molekul terendah yang tidak berisi elektron (E_{LUMO}), perbedaan energi celah (ΔE), momen dipol (μ), energi potensial ionisasi (I), afinitas elektron (A), elektronegativitas, *global hardness*, *global softness*,

fraksielektron yang ditransfer dari molekul inhibitor ke permukaan logam Fe, elektrofilisitas, energi total (E_T) dan energi interaksi (E_{int}) (Marni, dkk., 2019: 111).

Salah satu ruang lingkup kimia komputasi yang sering digunakan yaitu HKSA. HKSA dapat digunakan untuk mempelajari hubungan antara struktur molekul dengan aktivitas biologisnya yang dinyatakan secara kuantitatif. Salah satu metode yang sering digunakan adalah metode semiempirik. Metode ini banyak dipilih karena parameter yang dihitung hanya elektron valensi atom-atomnya sehingga waktu analisisnya relatif singkat. Teknik ini menggunakan data algoritma secara statistika yang secara kuantitatif menentukan perbedaan antara aktivitas senyawa dengan perubahan deskriptor tiap molekulnya. Deskriptor tersebut dapat dinyatakan sebagai angka yang merupakan transformasi dari struktur molekul (Asmara, 2015: 19-20).

D. Analisis Hubungan Kuantitatif Struktur-Aktivitas

Analisis Hubungan Kuantitatif Struktur-Aktivitas merupakan metode komputasi untuk mengetahui hubungan struktur dan aktivitas suatu senyawa secara kuantitatif. Salah satu jenis metode yang sering digunakan dalam analisis itu yaitu semiempirik (CNDO, MNDO AM1 dan PM3). AM1 dan PM3 merupakan metode semiempirik yang paling tepat digunakan untuk memodelkan senyawa turunan trizolopiperazin amida dengan baik karena hasil perhitungannya mendekati hasil perhitungan metode *ab initio* yang akurat (Asmara, 2015: 27).

Hubungan Kuantitatif Struktur-Aktivitas (HKSA) adalah perangkat yang biasa digunakan untuk menghubungkan aktivitas kimia dengan struktur dan komposisi molekul secara kuantitatif (Chen, dkk., 2015; 260). Banyak sifat yang telah dipelajari melalui pendekatan Hubungan Kuantitatif Struktur-Aktivitas (HKSA). Seperti sifat fisik, struktural maupun sifat kimia, tetapi yang paling umum

yaitu sifat hidrofobik, elektronik dan sterik. Sifat hidrofobik dapat diukur pada senyawa secara lengkap maupun substituen secara khusus, sedangkan untuk sifat elektronik dan sterik hanya mampu diukur pada substituen secara khusus pada suatu molekul (Patrick, 2013: 384).

Hubungan Kuantitatif Struktur-Aktifitas (HKSA) banyak digunakan untuk menentukan sifat biologis molekul kimia berdasarkan struktur kimianya (Kausar,dkk., 2018: 1). Deskriptor adalah parameter atau properti molekul yang digunakan sebagai variabel independen saat menghitung aktivitas biologis suatu senyawa yang diprediksi (Hadanu, dkk., 2018: 38).

Momen dipol (AM1_Dipol), energi total (AM1_E), energi elektronik (AM1_Eele), panas pembentukan (AM1_HF), energi HOMO (AM1_HOMO), energi LUMO (AM1_LUMO), polaritas atom total (Apol), luas permukaan hidrofobik (ASA_H), kelarutan dalam air (Log S), koefisien partisi (Log P), globularitas (Glob), refraktivitas molar (Mr) dan volume van der Waals (Vol). Deskriptor-deskriptor tersebut mewakili sifat elektronik, hidrofobisitas dan sterik senyawa yang ketiganya menentukan farmakonetika dan farmakodinamika obat (Arba, dkk., 2018: 45).

Menurut (Patrick, 2013: 383-391) parameter-parameter yang digunakan untuk mengetahui hubungan struktur senyawa terhadap aktivitas biologisnya secara kuantitatif yaitu hidrofobik, elektronik dan sterik. Parameter hidrofobik dapat dengan mudah diukur pada molekul lengkap atau substituen individu. Sedangkan parameter elektronik dan sterik lebih sulit diukur pada molekul lengkap namun mudah diukur pada substituen individu..

1. Hidrofobik

Karakter hidrofobik obat sangat penting untuk mengetahui caranya dengan mudahnya melintasi membran sel dan juga penting dalam interaksi reseptor. Perubahan substituen pada obat memiliki efek yang signifikan pada karakter hidrofobiknya sehingga memberikan pengaruh terhadap aktivitas biologisnya. Karakter hidrofobik suatu obat dapat diukur secara eksperimental dengan menguji distribusi relatif obat dalam campuran n-oktanol / air. Molekul hidrofobik lebih suka larut dalam lapisan n-oktanol dari sistem dua fasa ini, sedangkan molekul hidrofilik lebih suka larut pada lapisan air. Distribusi relatif ini dikenal sebagai koefisien partisi (P) dan diperoleh dari persamaan berikut:

$$P = \frac{\text{Konsentrasi Obat dalam Oktanol}}{\text{Konsentrasi Obat dalam Latutan Air}} \dots\dots\dots (2.1)$$

2. Elektronik

Efek elektronik dari berbagai substituen akan jelas memiliki efek pada ionisasi atau polaritas obat. Parameter ini berpengaruh pada seberapa mudah suatu obat dapat ditularkan melalui membran sel atau seberapa kuat interaksi itu dengan situs yang mengikat. Oleh karena itu, sangat penting untuk mengukur efek elektronik dari suatu substituen.

3. Sterik

Besarnya ukuran dan bentuk obat akan mempengaruhi interaksi dengan situs yang mengikat. Substituen yang besar dapat bertindak seperti perisai dan menghalangi interaksi ideal antara obat dan tempat pengikatannya. Sederhananya, substituen yang besar dapat membantu mengorientasikan obat dengan tepat untuk pengikatan maksimum dan meningkatkan aktivitas. Sifat sterik lebih sulit untuk diukur daripada sifat hidrofobik atau elektronik.

E. Analisis Statistik dalam Hubungan Kuantitatif Struktur-Aktivitas

Analisis *Multiple Linear Regression* (MLR) dapat dilakukan untuk memilih deskriptor utama yang akan mempengaruhi aktivitas biologis suatu senyawa. Analisis ini melibatkan dua variabel yaitu variabel teikat dan variabel bebas (Hadaji, dkk., 2018: 8). Analisis ini mampu menggambarkan hubungan antara struktur dan aktivitas suatu senyawa berdasarkan paramete-parameter yang telah ditetapkan (deskriptor). Perhitungan deskriptor dilakukan dengan analisis korelasi antar variabel. Hasil dari perhitungan tersebut digunakan dalam menghitung nilai IC_{50} . Nilai IC_{50} merupakan parameter untuk menentukan konsentrasi senyawa antioksidan yang mampu menghambat 50% oksidasi. Semakin kecil nilai IC_{50} , maka semakin tinggi aktivitas antioksidan (Lung dan Dika, 2017: 57). Persamaan HKSA yang dipilih adalah persamaan yang mempunyai nilai r dan r^2 mendekati satu, nilai SE dan PRESS mendekati nol (Noor, dkk., 2016: 53-54).

Hubungan kuantitatif antara struktur molekul dan aktivitas antikanker dari turunan senyawa isatin dilakukan dengan dua metode kemometri, yaitu MLR dan GA-PLS. Perbandingan antara dua metode statistik yang digunakan menunjukkan bahwa MLR memiliki hasil yang lebih baik. Model yang dihasilkan dari metode MLR memiliki nilai $r^2 = 0,92$ dan $q^2 = 0,90$ untuk memprediksi aktivitas senyawa (Sabet, dkk., 2010: 117).

Parameter statistik r dan r^2 memberikan gambaran mengenai kekuatan korelasi antara variabel bebas (deskriptor) dan variabel tidak bebas ($\log IC_{50}$) serta seberapa baik tingkat linearitas model persamaan tersebut untuk memprediksi senyawa lain. Sedangkan parameter F_{hitung}/F_{tabel} mampu menggambarkan tingkat signifikasi data dengan tingkat kepercayaan yang diinginkan. Semakin besar nilai F_{hitung}/F_{tabel} maka data akan semakin signifikan (Saputra, dkk., 2013: 119).

BAB III

METODE PENELITIAN

A. Waktu dan Tempat

Penelitian ini dilaksanakan pada bulan Oktober 2020 - Januari 2021 yang bertempat di Laboratorium Kimia Organik Fakultas Sains dan Teknologi Universitas Islam Negeri Alauddin Makassar.

B. Alat dan Bahan

1. Alat

a. Hardware

Penelitian ini menggunakan perangkat keras berupa *Processor AMD A9-9425 Radeon R5, 5 Compute Cores 2C+3G @ 3.10GHz, RAM 4.00 GB, dan Harddisk 1000 GB.*

b. Software

Penelitian ini menggunakan perangkat lunak berupa *Windows 10 Pro © 2010 Microsoft Corporation 64-bit, HyperChem 8.0.7, SPSS for Windows versi 22.0, Microsoft Office Excel Professional @ 2016, dan ChemSketch 14.0.1.1040.*

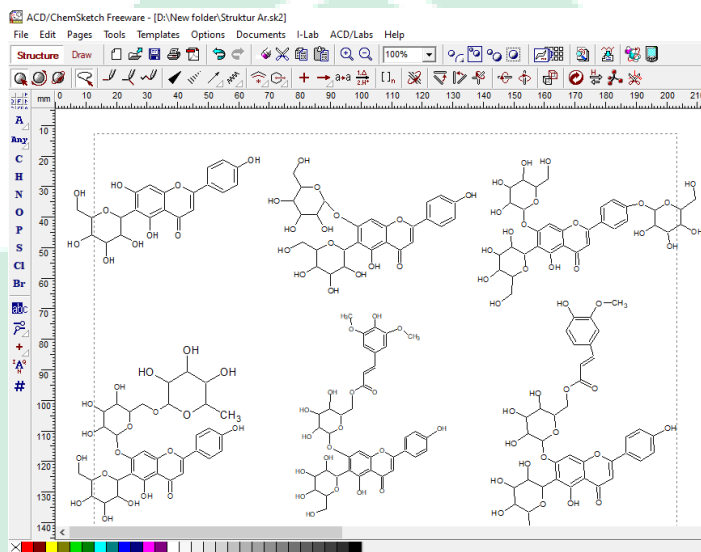
2. Bahan

Data yang digunakan pada penelitian ini adalah senyawa turunan flavon yang diperoleh dari artikel penelitian Okawa Masafumi, dkk (2001).

C. Prosedur Penelitian

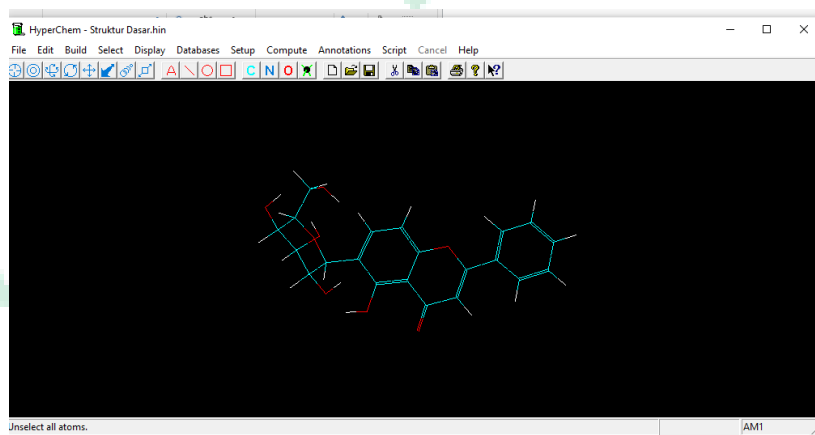
1. Pemodelan Struktur Molekul

Struktur senyawa turunan flavon yang digunakan pada penelitian ini digambar pada aplikasi *ChemSketch* 14.0.1.1040 dan disimpan dalam bentuk *file*.



Gambar 3.1 Pemodelan Struktur pada ChemSketch 14.0.1.1040

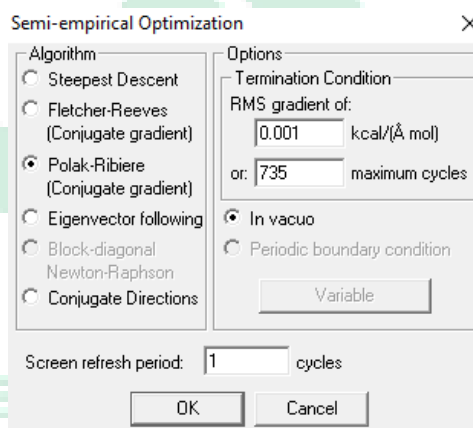
Selanjutnya pemodelan struktur senyawa turunan flavon dibuat struktur 3D dengan menggunakan program *HyperChem* 8.0.7.



Gambar 3.2 Pemodelan Struktur 3D pada *HyperChem*

2. Optimasi Geometri

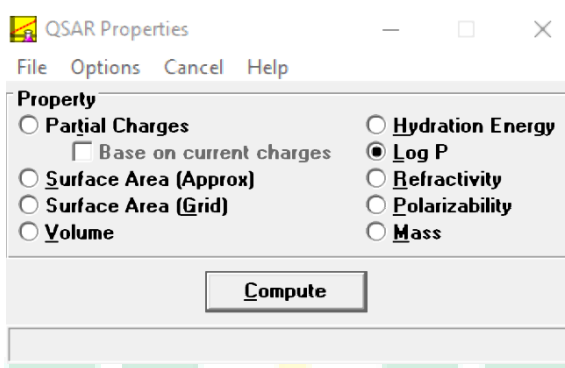
Senyawa turunan flavon yang telah dibuat dalam bentuk 3D melalui pemodelan molekul, kemudian struktur dioptimasi menggunakan metode semiempiris *Austin Model 1* (AM1) dengan algoritma *Polak-Ribiere* gradien 0.001 kkal/Å. Selanjutnya dilakukan perhitungan *single point* dengan *output* data dikumpulkan pada *file* rekaman. Dimulai rekaman dengan menekan *start log* dan *stop log* untuk mengakhiri rekaman. Perhitungan *single point* dilakukan untuk memperoleh nilai deskriptor-deskriptor. Perintah pada program *HyperChem* yaitu *Setup > AM1*. Selanjutnya, pilih *Compute > Geometry Optimization*. Model molekul yang telah dibuat disimpan dalam format **.mol*.



Gambar 3.3 Optimasi Geometri Metode *Austin Model 1*

3. Perhitungan Deskriptor

Deskriptor dapat dihitung dengan menggunakan sub program prediktor pada program *HyperChem* 8.0.7. Struktur yang telah dibuat pada program *HyperChem* disimpan pada database **.hin*. Perintah pada program *HyperChem* untuk kalkulasi deskriptor yaitu klik *Compute > Qsar Properties*, kemudian dipilih deskriptor yang akan dihitung, lalu tekan *OK*.



Gambar 3.4 Deskriptor pada *HyperChem*

Dilakukan kalkulasi deskriptor pada program *HyperChem* yang mewakili parameter hidrofobik, elektronik, dan sterik. Deskriptor yang dihitung adalah energi total, energi hidrasi, log P, refraktivitas, polarisabilitas, massa molekul, volume molekul, luas permukaan perkiraan, luas permukaan jaringan, momen dipol, energi HOMO, energi LUMO, panas pembentukan, dan muatan bersih atom.

Tabel 3.1 Deskriptor yang Digunakan

No.	Deskriptor	Simbol Ilmiah	Satuan
1.	log P	log P	-
2.	Energi HOMO	E_{HOMO}	eV
3.	Energi LUMO	E_{LUMO}	eV
4.	Muatan bersih atom	q	C
5.	Energi hidrasi	EH	kcal/mol
6.	Polarisabilitas	α	\AA^3
7.	Energi total	ET	kcal/mol
8.	Momen dipol	μ	D
9.	Luas permukaan perkiraan	SAA	\AA^2
10.	Refraktivitas molar	RM	\AA^3
11.	Volume molekuler	V	\AA^3

12.	Massa molekuler	MW	amu
13.	Luas permukaan jaringan	SAG	Å ²
14.	Panas pembentukan	ΔH _f	kcal/mol

4. Analisis Statistik

Analisis statistik berupa analisis korelasi dan analisis regresi multilinier yang dilakukan dengan menggunakan program SPSS ® *for windows* versi 22.0 dan *Microsoft Office Excel Professional @ 2016*. Variabel bebas yang digunakan yaitu log P, energi HOMO, energi LUMO, muatan bersih atom (qO1, qC2, qC3, qC4, qC5, qC6, qC7, qC8, qC9, qC10, qC11, qC12, qC13, qC14, qC15, qC16 dan qO17), energi hidrasi, polarisabilitas, energi total, momen dipol, luas permukaan perkiraan, luas permukaan jaringan, massa molekuler, refraktivitas molar, volume molekuler, dan panas pembentukan. Sedangkan variabel terikat yang digunakan adalah log IC₅₀. Hasil yang diperoleh berupa deskriptor terpilih dengan persamaan HKSA dan nilai parameter statistik seperti R, R², SE, PRESS, dan F. Selanjutnya dilakukan kombinasi deskriptor hingga diperoleh 4 deskriptor terbaik dengan nilai R ≥ 0,8 hingga 1.

5. Validasi dan Penetapan Model Persamaan HKSA

Model-model yang telah dipilih, kemudian divalidasi dengan menghitung nilai R², SE, F_{hitung}/F_{tabel}, dan PRESS. Persamaan yang diterima harus memenuhi syarat nilai R² dari 0.8 - 1, F_{hitung}/F_{tabel} > 1, dan nilai PRESS dan SE yang paling terkecil.

6. Desain Senyawa Baru

Desain senyawa baru dengan menambahkan substituen tertentu pada senyawa induk yang digunakan. Posisi substituen yang digunakan harus berbeda dengan posisi substituen dari senyawa induk. Desain senyawa baru dilakukan dengan

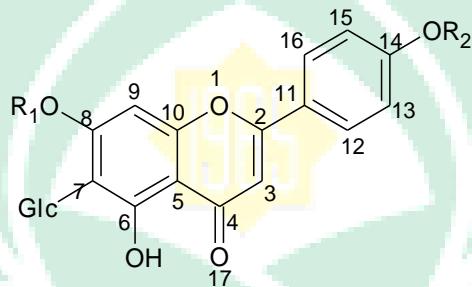
memperhatikan rumus persamaan HKSA yang telah diperoleh. Selanjutnya dilakukan perhitungan nilai aktivitas prediksi antioksidan.



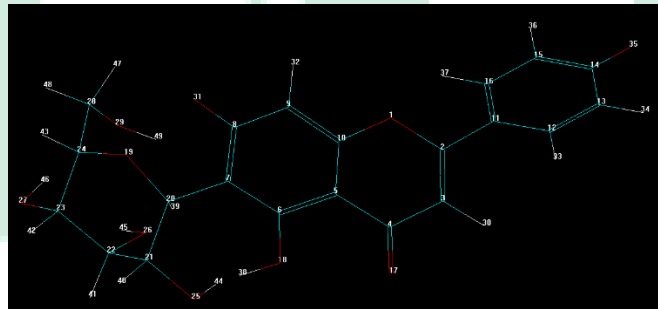
BAB IV HASIL DAN PEMBAHASAN

A. Hasil Penelitian

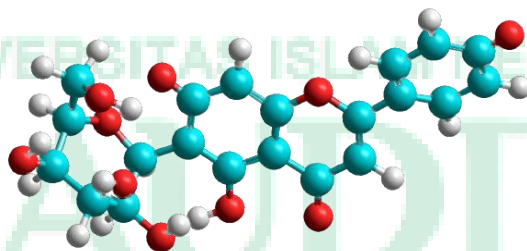
1. Pemodelan Struktur Molekul



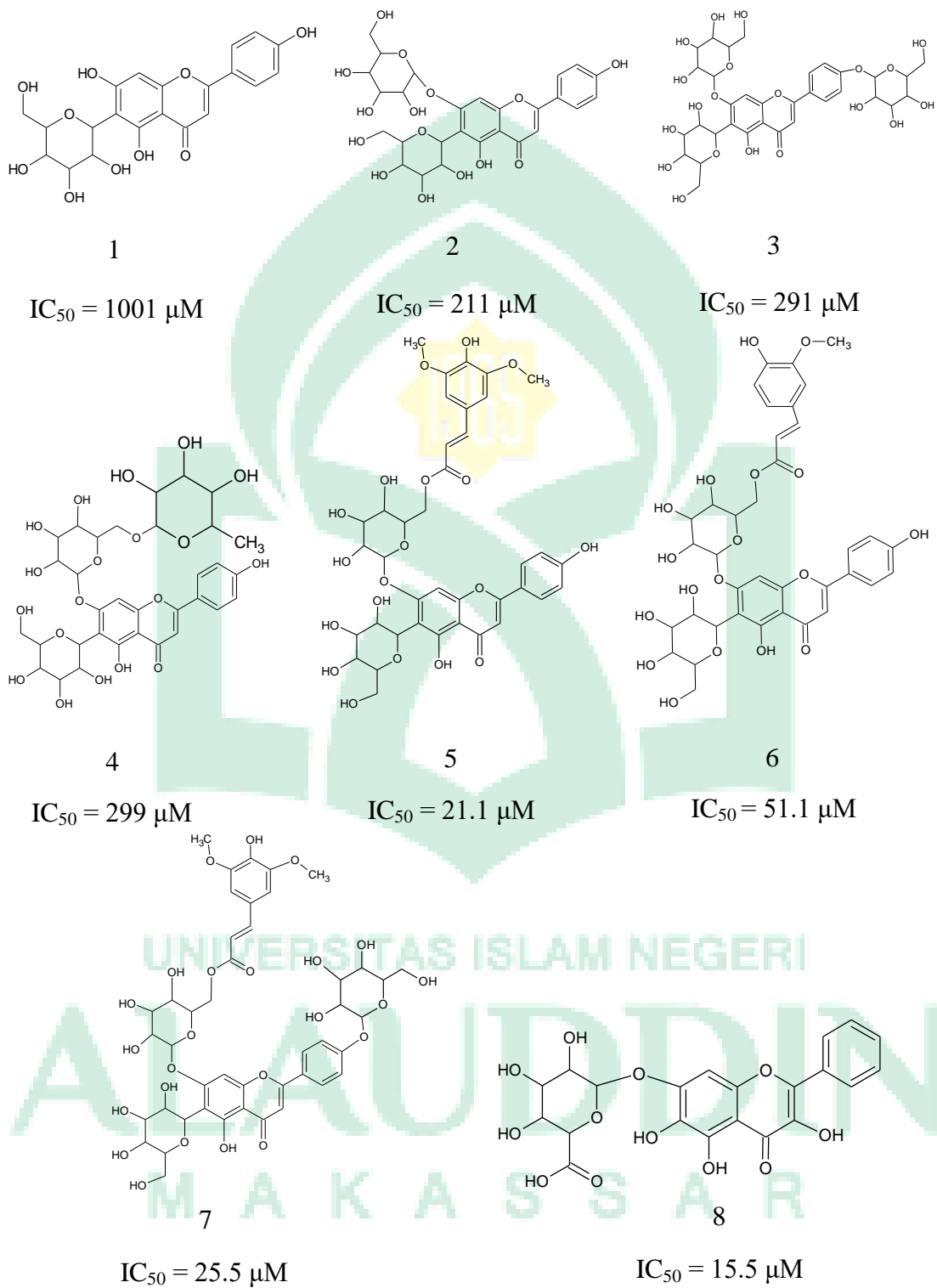
Gambar 4.1 Struktur Senyawa Flavon Glikosida dengan Penomoran



Gambar 4.2 Struktur Senyawa Flavon Glikosida dengan Penomoran Model *Stick*

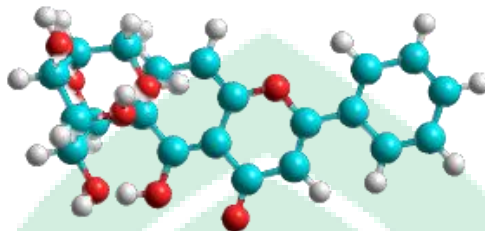


Gambar 4.3 Struktur Dasar Senyawa Flavon Glikosida Model *Stick and Ball*

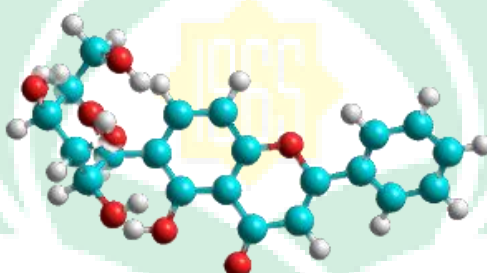


Gambar 4.4 Struktur Senyawa Turunan Flavon dan Nilai IC_{50} eksp

2. Optimasi Geometri



Gambar 4.5 Senyawa Flavon Glikosida Sebelum Dioptimasi



Gambar 4.6 Senyawa Flavon Glikosida Setelah Dioptimasi

Tabel 4.1 Data Energi Total dan Panas Pembentukan Senyawa Turunan Flavon

Kode Senyawa	Energi Total (kkal/mol)	Panas Pembentukan (kkal/mol)
FN1	-142234.4786	-347.3812
FN2	-200111.8364	-587.8152
FN3	-257992.2944	-831.3496
FN4	-250581.2749	-769.4712
FN5	-265122.3801	-525.4375
FN6	-254173.1832	-512.2197
FN7	-323034.6679	-800.8016
FN8	-148994.4303	-388.0021

3. Perhitungan Deskriptor

Tabel 4.2 Deskriptor Elektronik Senyawa Turunan Flavon Menggunakan Metode Semi Empiris AM-1

Kode Senyawa	Energi Homo (eV)	Energi Lumo (eV)	ΔEG (eV)	Momen Dipol (D)
FN1	-9.1097	-0.7406	8.3691	5.456
FN2	-8.9235	-0.5990	8.3245	9.546
FN3	-9.1809	-0.8142	8.3667	6.893
FN4	-9.0817	-0.7594	8.3223	5.846
FN5	-8.9429	-2.6103	6.3326	5.709
FN6	-6.9803	-0.9431	6.0372	13.83
FN7	-6.7975	-1.3324	5.4651	14.49
FN8	-8.7424	-0.6943	8.0481	6.864

Tabel 4.3 Harga Muatan Atom Bersih Senyawa Turunan Flavon Menggunakan Metode Semi Empiris AM-1

Muatan Atom Bersih (eV)	FN1	FN2	FN3	FN4	FN5	FN6	FN7	FN8
qO1	-0.1371	-0.1350	-0.1326	-0.1394	-0.1121	-0.1461	-0.1645	-0.1352
qC2	0.1335	0.1368	0.1301	0.1365	0.1418	0.1427	0.1334	0.1329
qC3	-0.2906	-0.2954	-0.2890	-0.2941	-0.2786	-0.3053	-0.2951	-0.2949
qC4	0.3188	0.3172	0.3164	0.3167	0.3146	0.3138	0.3144	0.3157
qC5	-0.2623	-0.2421	-0.2465	-0.2408	-0.3186	-0.1788	-0.1748	-0.2110
qC6	0.2117	0.1942	0.1972	0.1908	0.3494	0.1219	0.1220	0.1590
qC7	-0.2547	-0.2439	-0.2759	-0.3218	-0.3051	0.0555	0.0621	-0.0357
qC8	0.1707	0.1787	0.1751	0.1906	0.1041	-0.1383	-0.1717	0.0618
qC9	-0.3018	-0.2265	-0.2232	-0.2383	-0.1999	-0.1597	-0.1503	-0.2153
qC10	0.1745	0.1551	0.1566	0.1551	0.2197	0.0458	0.0190	0.1161
qC11	-0.1018	-0.1016	-0.0783	-0.1025	-0.1239	-0.0973	-0.0733	-0.0632
qC12	-0.0637	-0.0642	-0.0801	-0.0636	-0.0555	-0.0653	-0.0816	-0.0978
qC13	-0.1634	-0.1648	-0.1461	-0.1635	-0.1642	-0.1633	-0.1456	-0.1354
qC14	0.1017	0.1002	0.0830	0.1027	0.1186	0.0976	0.0777	-0.1094
qC15	-0.2225	-0.2226	-0.1816	-0.2215	-0.2192	-0.2230	-0.1837	-0.1370
qC16	-0.0482	-0.0467	-0.0652	-0.0486	-0.0380	-0.0510	-0.0762	-0.0884
qO17	-0.2808	-0.2804	-0.2754	-0.2783	-0.2634	-0.2755	-0.2745	-0.2771

Tabel 4.4 Data Deskriptor Senyawa Turunan Flavon Menggunakan Metode HKSA

Kode Senyawa	SAA (Å ²)	SAG (Å ³)	Volum (Å ³)	EH (Kkal/mol)	LogP	Rev (Å ³)	Polar (Å ³)	Mass (amu)
FN1	393.23	592.88	1036.07	-27.03	-4.26	112.24	40.69	432.38
FN2	480.58	742.72	1369.53	-34.60	-5.72	144.67	54.11	594.53
FN3	546.66	912.84	1701.97	-43.22	-7.18	177.10	67.53	756.67
FN4	563.67	831.10	1632.83	-42.92	-6.15	175.54	66.89	740.67
FN5	884012.30	960.22	1860.33	624353.30	-7.04	202.73	74.75	800.72
FN6	638.02	957.04	1748.52	-45.51	-6.05	196.36	72.28	770.70
FN7	-24658690	1102.52	2192.31	-3405414	-8.51	235.17	88.17	962.87
FN8	433.04	618.02	1063.24	-26.89	-3.44	112.18	40.77	446.37

4. Analisis Statistik

Tabel 4.5 Hasil Statistika Persamaan Model HKSA Menggunakan Metode MLR

Model	Deskriptor	n	m
1	qC8,qC15,qO17,qC2,MD	8	5
2	qC15,qO17,qC2,MD	8	4
3	qC15,qO17,qC2	8	3
4	qC15,qC2	8	2

5. Validasi dan Penetapan Model Persamaan HKSA

Tabel 4.6 Data Persamaan Model yang Dihasilkan Menggunakan Metode MLR

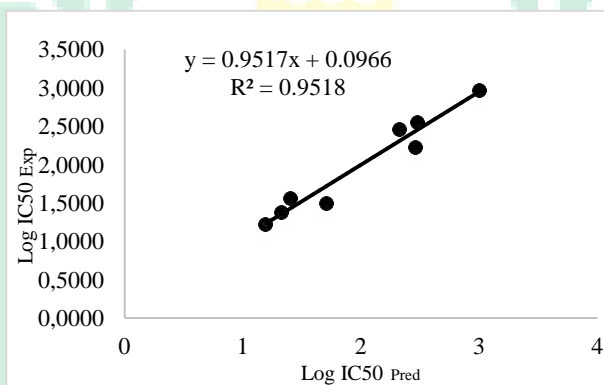
Model	R	R Square	Adjusted R Square	SE	Sig	F _{hit}	F _{tb}	F _{hit} /F _{tab}
1	0.976	0.952	0.832	0.2723	0.115	7.952	19.296	0.412
2	0.976	0.952	0.887	0.2231	0.026	14.800	9.117	1.623
3	0.944	0.891	0.810	0.2900	0.021	10.934	6.591	1.659
4	0.917	0.841	0.777	0.3142	0.010	13.182	5.786	2.278

Tabel 4.7 Model Persamaan yang dihasilkan Menggunakan Metode MLR

Model	Persamaan
1	$\text{LogIC}_{50} = -0.822 - (44.604 * \text{qO17}) - (18.782 * \text{qC15}) - (0.056 * \text{MD}) - (93.913 * \text{qC2}) - (0.245 * \text{qC8})$
2	$\text{LogIC}_{50} = -0.714 - (43.425 * \text{qO17}) - (18.455 * \text{qC15}) - (0.048 * \text{MD}) - (92.486 * \text{qC2})$
3	$\text{LogIC}_{50} = 4.375 - (33.392 * \text{qO17}) - (20.339 * \text{qC15}) - (115.395 * \text{qC2})$
4	$\text{LogIC}_{50} = 17.127 - (22.705 * \text{qC15}) - (144.984 * \text{qC2})$

Tabel 4.8 Nilai PRESS dan Hasil Perbandingan Aktivitas Antioksidan Eksperimen dengan Nilai Prediksi dari 4 Model Persamaan

Kode Senyawa	Log IC ₅₀ Eksp	Log IC ₅₀ Pred.			
		Model 1	Model 2	Model 3	Model 4
FN1	3.0004	2.9971	2.9772	2.8717	2.8235
FN2	2.3243	2.4402	2.4602	2.4795	2.3473
FN3	2.4638	2.2258	2.2334	2.2518	2.3878
FN4	2.4757	2.5583	2.5540	2.4217	2.3658
FN5	1.3243	1.3816	1.3809	1.2658	1.5452
FN6	1.7084	1.5128	1.5035	1.6432	1.5010
FN7	1.4065	1.5747	1.5632	1.8837	1.9570
FN8	1.1903	1.2303	1.3365	1.0784	0.9692
PRESS		0.00073	0.00002704	0.00000415	0.00001042

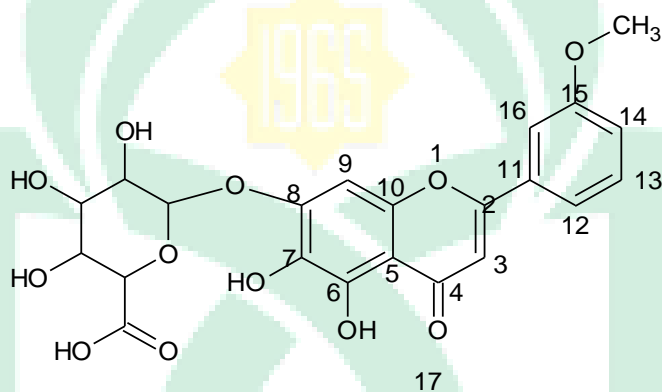


Gambar 4.7 Kurva Korelasi Log IC₅₀ Eksp Persamaan Model 4 HKSA

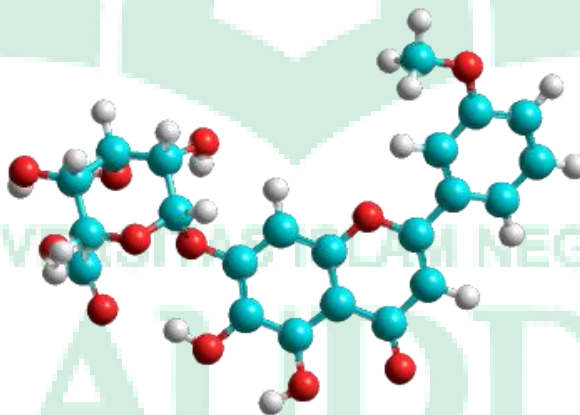
6. Desain Senyawa Baru

Tabel 4.9 Nama Senyawa dan Nilai Aktivitas Turunan Flavon Baru

No	Nama Senyawa	LogIC ₅₀
		Prediksi
1	3-metoksi-baicalin	3.1075
2	15-metoksi-baicalin	-2.5424
3	3,15-dimetoksi-baicalin	-0.4936
4	3-amina-baicalin	12.1852
5	15-amina-baicalin	-2.2105
6	3,15-diamina-baicalin	9.3038



Gambar 4.8 Senyawa 15-metoksi-baicalin 2D



Gambar 4.9 Senyawa 15-metoksi-baicalin

B. Pembahasan

1. Pemodelan Struktu Molekul

Penggambaran struktur senyawa flavon dilengkapi dengan penomoran dilakukan dengan menggunakan aplikasi *Chemsketch* 14.0.1.1040 (Gambar 4.1). Penomoran dilakukan untuk mengetahui posisi atom-atom yang terdapat pada struktur senyawa flavon. Senyawa flavon dimodelkan dalam bentuk *stick and ball* untuk menggambarkan keadaan senyawa flavon yang sebenarnya di alam (Gambar 4.3). Pemodelan yang dilakukan melibatkan 17 atom utama untuk melihat muatan atom bersih dari masing-masing senyawa yang dijadikan sebagai data set dalam penelitian ini. Pemodelan tersebut dilakukan sebagai langkah awal untuk memperoleh data deskriptor yang akan menghasilkan model persamaan HKSA. Senyawa turunan flavon yang dipakai dalam penelitian ini terdiri dari 8 senyawa yang memiliki nilai aktivitas antioksidan yang telah diuji secara eksperimen (Gambar 4.4). Penelitian mengenai senyawa turunan flavon telah dilakukan secara eksperimen dan diketahui mempunyai aktivitas biologis sebagai antioksidan (Okawa, dkk., 2001: 1204). Pemodelan struktur merupakan langkah awal yang dilakukan sebelum optimasi untuk menghasilkan model persamaan HKSA.

2. Optimasi Geometri

Optimasi geometri delapan senyawa turunan flavon dilakukan untuk menghasilkan struktur yang optimal. Bentuk senyawa yang telah dioptimasi merupakan bentuk yang optimal yaitu menggambarkan struktur dan jarak yang sebenarnya di alam. Senyawa yang telah mengalami optimasi akan mempunyai bentuk konformasi yang berbeda dengan senyawa yang belum mengalami optimasi. Senyawa yang telah mengalami optimasi akan memiliki struktur yang melebar, sebab gugus-gugus yang ada di dalam senyawa cenderung mengandung muatan yang

berlawanan akibat pengaruh induksi awan elektron pada atom maupun gugus tertentu (Hartantyo, 2007: 48).

Gambar 4.5 menunjukkan senyawa flavon yang belum mengalami optimasi geometri, sedangkan Gambar 4.6 menunjukkan senyawa flavon yang telah mengalami optimasi geometri. Atom (O19–C28–O29) yang membentuk sudut pada senyawa sebelum dan setelah optimasi mempunyai besar sudut yang berbeda. Pada senyawa flavon yang telah mengalami optimasi membentuk sudut yang lebih besar (111.612°) dibanding senyawa flavon yang belum mengalami optimasi (91.0514°). Perubahan sudut ini menyebabkan terjadinya pelebaran jarak (r) antara atom O19 dan O29 pada senyawa flavon yang belum mengalami optimasi dan yang telah mengalami optimasi yaitu 2.8383 \AA menjadi 3.2368 \AA . Hal ini juga terjadi pada atom-atom lain yang berinteraksi satu sama lain. Perubahan energi juga terjadi akibat perubahan sudut dan jarak antar tiap atom tersebut.

Optimasi geometri dari kedelapan senyawa turunan flavon dilakukan menggunakan metode semiempiris AM-1. Diperoleh senyawa FN1 yang memiliki struktur yang optimal dibandingkan senyawa turunan flavon yang lainnya dengan nilai energi total sebesar $-142234.4786 \text{ kkal/mol}$ (Tabel 4.1). Parameter seberapa optimal atau stabil struktur suatu molekul dapat ditinjau berdasarkan pembentukan energi total yang mendekati nol (Rakhman, dkk., 2018: 27).

3. Perhitungan Deskriptor

Kajian mengenai struktur aktivitas antioksidan dapat dikaji secara kuantitatif melalui struktur senyawa yang diteliti dengan melalui simulasi komputasi untuk menghasilkan deskriptor. Penentuan deskriptor dilakukan untuk menghasilkan data sifat fisika dan kimia senyawa turunan flavon. Perhitungan deskriptor elektronik dapat dilakukan menggunakan metode semi empiris AM1 (Arba, dkk., 2018: 45).

Deskriptor elektronik yang dihitung melalui simulasi komputasi menghasilkan data berupa energi HOMO, energi LUMO, Momen Dipol (Tabel 4.2) dan muatan atom bersih (Tabel. 4.3). Kestabilan dan reaktivitas suatu molekul dapat ditentukan melalui energi Gap ΔEG , kestabilan dan reaktivitas tersebut dapat dilihat melalui selisih energi HOMO dan LUMO (Hartantyo, 2007: 51). Senyawa turunan flavon yang bersifat kurang stabil atau reaktif dari kedelapan senyawa FN1-FN8 adalah senyawa FN7 yang memiliki nilai ΔEG terkecil sebesar 5.4651 eV. Hal ini disebabkan karena molekul yang memiliki nilai ΔEG yang kecil maka molekul tersebut reaktif dan kurang stabil karena memerlukan energi yang cukup kecil ketika mengalami eksitasi elektron dari HOMO ke LUMO. Sementara itu, senyawa turunan yang paling stabil atau kurang reaktif terdapat pada senyawa FN1 dengan nilai ΔEG sebesar 8.3691 eV.

Deskriptor elektronik muatan atom bersih sangat berpengaruh dalam penentuannya terhadap interaksi elektronik antar atom yang saling berikatan dalam suatu molekul. Interaksi tersebut akan melibatkan elektron pada atom akan saling berikatan sehingga mempengaruhi harga masing-masing muatan atom (Hadanu, 2018: 155). Penentuan deskriptor untuk melihat aktivitas biologis senyawa turunan flavon sebagai antioksidan dilakukan dengan menggunakan metode HKSA (Tabel 4.4). Energi hidrasi menunjukkan kemampuan senyawa dalam berinteraksi dengan molekul air. Semakin tinggi energi hidrasi suatu senyawa, maka semakin hidrofil senyawa tersebut (Mulatsari, dkk., 2019: 55) Energi hidrasi pada senyawa turunan flavon yang besar terdapat pada senyawa FN5 yaitu 624353.30 kkal/mol. Artinya, senyawa dengan nilai energi hidrasi tertinggi akan sangat baik terikat dengan plasma protein (Rakhman, dkk., 2019: 116).

Harga Log P berkaitan dengan kepolaran suatu senyawa yang menunjukkan proses distribusi suatu molekul sebagai antioksidan di dalam tubuh manusia. Harga Log P yang baik pada aktivitas biologis dalam hal ini kelarutannya dalam air dan seberapa sulit menembus membran lipid yakni pada jarak $0 < \text{Log P} < 3$ (Rakhman, dkk., 2019: 116). Hasil menunjukkan bahwa harga terkecil Log P terdapat pada senyawa FN7 yakni sebesar -8.51 dan harga Log P terbesar terdapat pada senyawa FN8 dengan -3.44. Perbedaan harga Log P tersebut menunjukkan seberapa efektif kepolaran (kelarutan dalam air) senyawa turunan flavon sebagai antioksidan.

Polaritas suatu molekul sangat berkaitan erat dengan jumlah elektron, dimana jumlah elektron yang banyak akan mempengaruhi nilai polaritas suatu molekul (Rakhman, dkk., 2019: 117). Polaritas suatu molekul berhubungan dengan kemampuan suatu molekul untuk membentuk dipol sesaat guna dapat terbentuknya ikatan intermolekuler (Nindita dan Sanjaya, 2014: 30). Nilai polaritas tertinggi ditunjukkan oleh senyawa FN7 88.17 \AA^3 , dimana semakin banyak jumlah elektron maka akan semakin mudah terpolarisasi. Hal tersebut sejalan dengan simulasi komputasi senyawa FN7, dimana senyawa ini merupakan senyawa yang memiliki jumlah elektron terbanyak diantara kedelapan senyawa turunan flavon lainnya yaitu sebanyak 370 elektron.

Perkiraan luas permukaan (SAA) dan kendit luas permukaan (SAG) sangat berkaitan erat dengan kapasitas ukuran dan luas permukaan sentuh suatu molekul yang bertujuan untuk memudahkan molekul (senyawa turunan flavon) ketika menembus membran biologis pada makhluk hidup (Rakhman, dkk., 2019: 117). Hasil perhitungan komputasi dengan metode semi empiris AM1 menghasilkan nilai

SAA terkecil ditunjukkan pada senyawa FN7 dengan nilai $-24658690.00 \text{ \AA}^2$ dan nilai SAG terkecil pada senyawa FN1 592.88 \AA^2 .

4. Analisis Statistik

Analisis statistika sangat dibutuhkan dalam melakukan penentuan model persamaan HKSA pada senyawa turuna flavon. Data-data yang diolah merupakan data hasil kalkulasi dari penggunaan metode AM1 pada aplikasi *Hyperchem* versi 8.0.7 yang selanjutnya dianalisis secara statistika. Analisis tersebut dilakukan melalui dua tahapan yaitu analisis korelasi dan regresi multilinear untuk menghasilkan model persamaan HKSA. Analisis korelasi dilakukan untuk melihat deskriptor-deskriptor yang mempunyai pengaruh secara dominan terhadap aktivitas biologis (Log IC_{50}) yang telah dilakukan secara eksperimen (Utomo,dkk., 2017: 163).

Variabel terikat adalah $\text{log IC}_{50 \text{ Eksp}}$ dan variabel bebasnya adalah 30 deskriptor senyawa turunan flavon FN1-FN8 yang meliputi MD, EHOMO, ELUMO, SAA, SAG, Vol, EH, LogP, Refraktiv, Polarisab, Massa, E_{Tot} , HF, qO1, qC2, qC3, qC4, qC5, qC6, qC7, qC8, qC9, qC10, qC11, qC12, qC13, qC14, qC15, qC16, qO17. Hasil korelasi menunjukkan bahwa lima deskriptor senyawa turunan flavon memiliki pengaruh yang sangat besar terhadap aktivitas biologis turunan senyawa flavon (Tabel 4.5). Deskriptor tersebut kemudian dianalisis dengan berbagai macam kombinasi menggunakan analisis regresi multilinear dengan metode enter sehingga menghasilkan kombinasi deskriptor terbaik dengan nilai $R > 8$ dengan persamaan: $\text{Log IC}_{50} = -0.714 - (43.425 * \text{qO17}) - (18.455 * \text{qC15}) - (0.048 * \text{MD}) - (92.486 * \text{qC2})$ dengan $n = 8$; $R = 0.976$; $R^2 = 0.952$; $SE = 0.2231$; $PRESS = 0.00002704$.

5. Validasi dan Penetapan Model Persamaan HKSA

Data hasil analisis regresi multilinear menghasilkan 4 model persamaan HKSA dengan nilai R , R^2 , SE (Standard Error), Sig, dan F_{hit} yang didapat dari

analisis 30 deskriptor pada 8 turunan senyawa flavon (Tabel 4.6). Menurut (Isnaeni, dkk., 2016: 122) untuk menghasilkan satu model persamaan HKSA terbaik dapat dilihat dari nilai R dan R^2 yang tinggi (mendekati 1) dengan nilai SE dan PRESS yang rendah (mendekati 0). Harga F_{hit}/F_{tab} lebih dari 1 (Asmara, dkk., 2015:134). Nilai signifikansi yang bisa diterima yaitu kurang dari 0,05 (Utomo, dkk., 2017: 165). Berdasarkan hal tersebut maka dipilih model 2 sebagai model persamaan terbaik dengan 4 deskriptor berupa muatan atom C nomor 15 (qC15), muatan atom O (qO17), muatan atom C nomor 2 (qC2) dan Momen Dipol (MD) (Tabel 4.7). Model regresi yang dipilih memiliki nilai $R = 0.976$; $R^2 = 0.952$; $SE = 0.2231$; $F_{hit} = 14.800$; $F_{hit}/F_{tab} = 1.623$; $Sig = 0.026$ (Tabel 4.6) dan $PRESS = 0.00002704$ (Tabel 4.8).

Model persamaan yang memiliki harga R dan R^2 yang relatif mendekati 1 menandakan korelasi antara parameter (variable bebas) dengan aktivitas inhibisinya (IC_{50}) sangat kuat. Harga F_{hit}/F_{tab} yang lebih dari 1 menandakan bahwa H_1 diterima dengan korelasi antara parameter (variabel bebas) dengan aktivitas inhibisinya (IC_{50}) bersifat signifikan dan memiliki tingkat kepercayaan 95%. Semakin kecil harga PRESS maka model persamaan yang dihasilkan makin akurat karena semakin kecil selisih perbedaan aktivitas inhibisi eksperimental dengan aktivitas inhibisi prediktif yang dihasilkan dari model persamaan tersebut (Asmara, 2015: 134-135).

Standard Error (SE) mengukur seberapa besar variasi disekitar garis prediksi (Utomo, 2017: 165). Pada penelitian ini diperoleh nilai SE terkecil pada model persamaan 2 dengan nilai 0.2231. Hal ini menunjukkan bahwa aktivitas biologis eksperimen memiliki variasi sebesar 0.2231 disekitar garis prediksi. Tingkat signifikansi atau kesalahan maksimal yang bisa diterima dari penelitian adalah 5%. Model persamaan 2 memiliki nilai signifikansi sebesar 0.026 yang menyatakan bahwa keakuratan perhitungan model regresi adalah 97.40%.

Selain itu, uji validasi dapat dilakukan dengan melihat hubungan atau korelasi antara nilai $\text{Log IC}_{50 \text{ Eksp}}$ dengan $\text{Log IC}_{50 \text{ Pred}}$ yang ditampilkan dalam bentuk kurva (Gambar 4.7). Perbandingan nilai yang dapat dilihat pada kurva korelasi mengindikasikan bahwa nilai $\text{Log IC}_{50 \text{ Pred}}$ antara tiap model persamaan harus mempunyai hubungan yang erat dengan $\text{Log IC}_{50 \text{ Eksp}}$ yang ditandai dengan nilai R^2 . Oleh karena itu, berdasarkan hal tersebut maka model persamaan terbaik HKSA yang dipilih adalah model persamaan 2. Dimana, pertimbangan tersebut dilakukan dengan melihat nilai 6 parameter dan kurva korelasi yang menunjukkan bahwa model persamaan 2 memiliki kriteria sebagai model persamaan HKSA terbaik.

6. Desain Senyawa Baru

Substitusi di berbagai posisi pada senyawa flavonoid memiliki peranan penting dalam memberikan efek terhadap aktivitas antioksidan, pada cincin aromatik A dan C dapat mempengaruhi kelarutan dan daya ikat, sedangkan substitusi pada cincin aromatik B dapat mempengaruhi reaktivitas senyawa terhadap radikal bebas (Mulatsari, dkk., 2019: 55). Hal ini sangat berkaitan dengan variabel yang terdapat dalam persamaan terbaik yang dipilih untuk menentukan nilai aktivitas biologis prediksi, variabel yang ada pada persamaan terbaik yaitu momen dipol (MD) dan muatan atom bersih (atom C2, C15 dan O17).

Momen dipol berhubungan dengan delokalisasi elektron pada molekul sehingga akan terbentuk deferensiasi karakter elektrik masing-masing atom. Secara langsung momen dipol akan berhubungan langsung dengan polarisabilitas dan koefisien partisi (Log P). Nilai momen dipol dipengaruhi oleh jarak antar atom dalam suatu molekul (Hartantyo, 2007: 52). Momen dipol adalah momen yang disebabkan oleh perbedaan keelektronegatifan dari atom-atom pada suatu molekul dan merupakan ukuran kepolaran molekul secara keseluruhan (Syarif dan Ruly, 2005:

58). Nilai momen dipol yang semakin besar akan semakin bersifat elektronegatif/polarisabilitas tinggi atau bersifat polar (Male, dkk., 2018: 4).

Terdapat 3 posisi atom yang paling berpengaruh terhadap aktivitas biologis senyawa flavon yaitu atom C2, C15 dan O17. Ketiga atom ini merupakan daerah aktif yang dapat mempengaruhi perubahan nilai aktivitas biologis senyawa flavon. Pada desain senyawa baru, digunakan senyawa baicalin sebagai struktur dasar karena senyawa baicalin memiliki nilai aktivitas antioksidan paling kecil dibandingkan dengan senyawa yang lain. Atom C15 pada senyawa baicalin dijadikan sebagai atom pusat pergantian substituen untuk menghasilkan senyawa baru yang memiliki nilai aktivitas antioksidan lebih baik dari sebelumnya.

Gugus yang digunakan untuk mendesain senyawa baru yaitu gugus metoksi dan gugus amina. Karena gugus-gugus ini mampu memberikan efek dalam meningkatkan nilai aktivitas antioksidan senyawa. Pada senyawa nomor 1 ditambahkan gugus metoksi pada atom C nomor 3, senyawa nomor 2 ditambahkan gugus metoksi pada atom C nomor 15, senyawa nomor 3 ditambahkan gugus metoksi pada atom C nomor 3 dan 15, senyawa nomor 4 ditambahkan gugus amina pada atom C nomor 3, senyawa nomor 5 ditambahkan gugus amina pada atom C nomor 15 dan senyawa nomor 6 ditambahkan gugus amina pada atom C nomor 3 dan 15. Berdasarkan hasil desain senyawa baru diperoleh senyawa yang memiliki nilai $\text{Log IC}_{50 \text{ Pred}}$ yang beragam (Tabel 4.9). Nilai $\text{Log IC}_{50 \text{ Pred}}$ terkecil ditunjukkan pada senyawa nomor dua (15-metoksi-baicalin) dengan nilai -2.5424. Semakin kecil nilai Log IC_{50} yang dihasilkan maka semakin besar aktivitas antioksidan senyawa tersebut.

Hal ini sesuai dengan penelitian yang dilakukan oleh Nisa, dkk (2015: 167) pada modifikasi senyawa khirsin dengan aktivitas antioksidan yang diprediksi lebih

tinggi dari senyawa khirisin yaitu senyawa dengan penambahan gugus metoksi pada atom C nomor 3 dan senyawa dengan penambahan gugus metoksi pada atom C nomor 8. Hasil penelitian dari Perwira, dkk (2015: 215) juga menyatakan bahwa dengan menambahkan gugus pendonor elektron dan gugus metoksi (OCH_3) dapat menghasilkan aktivitas antioksidan lebih baik dibandingkan senyawa yang tersubstitusi gugus etoksi (OC_2H_5).



BAB V PENUTUP

A. Kesimpulan

Kesimpulan pada penelitian ini adalah sebagai berikut:

1. Deskriptor yang dapat mempengaruhi aktivitas antioksidan senyawa turunan flavon yaitu muatan bersih atom dan momen dipol.
2. Model persamaan Hubungan Kuantitatif Struktur-Aktivitas (HKSA) terpilih pada senyawa turunan flavon terhadap aktivitas antioksidan adalah Model 2 dengan : $\text{Log IC}_{50} = -0.714 - (43.425 \cdot qO17) - (18.455 \cdot qC15) - (0.048 \cdot MD) - (92.486 \cdot qC2)$ dengan $n = 8$; $R = 0.976$; $R^2 = 0.952$; $SE = 0.2231$; $PRESS = 0.00002704$.
3. Diperoleh hasil prediksi aktivitas antioksidan dari senyawa baru hasil modifikasi senyawa turunan flavon yang lebih berpotensi sebagai antioksidan yaitu senyawa 15-metoksi-baicalin dengan nilai $\text{Log IC}_{50} -2.5424$.

B. Saran

Saran pada penelitian ini adalah sebagai berikut:

1. Dilakukan sintesis terhadap senyawa yang telah diketahui memiliki aktivitas lebih baik dari senyawa sebelumnya serta dilakukan pengujian secara *in vitro* maupun *in vivo*.
2. Perlu dilakukan analisis hubungan kuantitatif struktur-aktivitas senyawa turunan flavon menggunakan metode semiempiris lain seperti metode RM1 agar dapat dilihat perbedaan hasil yang diperoleh.

DAFTAR PUSTAKA

- Al-Qur'anul Karim, 2013.
- Adawiah, dkk. "Aktivitas Antioksidan dan Kandungan Komponen Bioaktif Sari Buah Namnam". *Kimia Valensi* 1, no. 2 (2015): h. 130-136.
- Arba, dkk. "Hubungan Kuantitatif Struktur-Aktivitas (HKSA) dan Penambatan Molekul Senyawa Turunan Benzamida sebagai Inhibitor Alosterik *Mitogen Enhanced Kinase* (MEK)". *Kimia Valensi* 4, no. 1 (2018): h. 42-51.
- Arifin dan Ibrahim. "Struktur, Bioaktivitas dan Antioksidan dan Flavonoid". *Zarah* 6, no. 1 (2018): h. 21-29.
- Asmara Anjar P. "QSAR Analysis Of 4-Phenoxypyrimidine Derivatives As Antidiabetic Compounds Using Semiempirical AM1 Method". *Sains dan Terapan Kimia* 13, no. 12 (2019): h. 98-107.
- Asmara, dkk. "Analisis HKSA Senyawa Antidiabetik Turunan Triazolpiperazin Amida Menggunakan Metode Semiempirik PM3". *ALCHEMY* 5, no. 4 (2017): h. 106-133.
- Asmara, dkk. "Analisis Kuantitatif Struktur dan Aktivitas Senyawa Turunan Triazolpiperazin Amida Menggunakan Metode Semiempirik AM1". *Islamic Science and Technology* 1, no. 2 (2015): h. 125-138.
- Asmara. "Penentuan Metode Komputasi untuk Analisis Hubungan Kuantitatif Struktur dan Aktivitas Senyawa Turunan Triazolpiperazin Amida". *Elkawanie* 1, no. 1 (2015): h. 19-30.
- Azizah, dkk. "Aplikasi Komputasi Kimia dalam Analisis Hubungan Kuantitatif Struktur-Aktivitas (HKSA) dari Senyawa Aktif Antibakteri Analog N-Alkil Imidazol pada Bakteri (*Staphylococcus aureus*) dengan Parameter Elektronik Metode Austin Model (AM 1)". *As-Syifaa* 5, no. 1 (2013): h. 1-11.
- Chen, dkk. "Development Of Quantitative Structure Activity Relationship (QSAR) Model for Disinfection Byproduct (DBP) research: A Review Of Method and Resources". *Hazardous Materials* 299, (2015): h.260-279.
- Dungir Stevi G, dkk. "Aktivitas Antioksidan Ekstrak Fenolik dari Kulit Buah Manggis (*Garcinia mangostana* L)". *Mipa UNSRAT* 1, no. 1 (2012): h. 11-15.
- Hadaji, dkk. "QSAR Study Of Anthra [1,9-cd]pyrazol-6(2H)-one Derivatives as Potential Anticancer Agents Using Statistical Method". *Hindawi* (2018): h.1-16.
- Hadanu, dkk. "QSAR Studies Of Nitrobenzothiazole Derivatives as Antimalarial Agents". *Makara Journal Of Science* 22, no.1 (2018): h. 35-41.
- Hartantyo. "Hubungan Kuantitatif Struktur-Aktivitas Senyawa Vinkadiformina dan Turunannya sebagai Senyawa Antimalaria Berdasarkan Parameter Teoritis Hasil Perhitungan Semiempiris PM3 (*Parameterized Model* 3). *Skripsi*. Yogyakarta: Fakultas Farmasi Universitas Sanata Dharma Yogyakarta, 2007.
- Hasanah N. "Aktivitas Antioksidan Ekstrak Etanol Daun Salam". *Pena Medika* 5, no. 1 (2015); h. 55-59.

- Isnaeni, dkk. “Kajian Hubungan Kuantitatif Struktur dan Aktivitas Antioksidan Senyawa Analog Kalkon”. *Indonesian Journal of Chemical Science* 5, no. 2 (2016): h. 119-123.
- Jayanti NW, dkk. “Isolasi dan Uji Toksisitas Senyawa Aktif dari Ekstrak Metilena Klorida (MTC) Lengkuas Putih (*Alpinia galanga* (L) Wild)”. *Chem Prog* 5, no. 2 (2012): h. 100-108.
- Julizan, dkk., “Validasi Penentuan Aktivitas Antioksidan dengan DPPH”. *Kandaga* 1, no. 1 (2019): h. 41-46.
- Kamilatussaniah, dkk. “Pengaruh Suplementasi Madu Kelengkeng terhadap Kadar TSA dan MDA Tikus yang Diinduksi Timbal”. *MIPA* 38, no. 2 (2015): h. 108-114.
- Kausar, dkk. “An Automated Framework For QSAR Model Building”. *Cheminformatic* 10, no.1 (2018): h. 1-23.
- Kementerian Agama RI. *Al-Qur’an dan Terjemahnya*. Surabaya: Halim Publishing & Distributing, 2013.
- Khaira Kuntum. “Menangkal Radikal Bebas dengan Anti-Oksidan”. *Saintek* 2, no. 2 (2010): h. 183-187.
- Koirala. “Methylation and subsequent glycosylation of 7,8-dihydroxyflavone”. *Biotechnology*, no. 184 (2014) h. 128–137.
- Kurutas. “The Importance Of Antioxidants Which Play The Role In Cellular Response Againsts Oxidative/Nitrosative Stress: Current State”. *Nutrition Journal* 15, no. 71 (2016): h. 1-22.
- Kusbandari A dan Hari S. “Kandungan Beta Karoten dan Aktivitas Penangkapan Radikal Bebas terhadap DPPH (1,1-difenil 2-pikrilhidrazil) Ekstak Buah Blewah (*Cucumis melo* var. *Cantalupensis* L) Secara Spektrofotometri UV-Visible”. *Farmasi Sains dan Komunitas* 14, no. 1 (2017): h. 37-42.
- Lung dan Dika Pramita Destiani. “Uji Aktivitas Antioksidan Vitamin A,C,E dengan Metode DPPH”. *Farmaka* 15, no. 1 (2017): h.53-62.
- Maesaroh, dkk. “Perbandingan Metode Uji Aktivitas Antioksidan DPPH, FRAP dan FIC Terhadap Asam Askorbat, Asam Galat dan Kuersetin”. *Chimica at Natura Acta* 6, no. 2 (2018): h. 93-10.
- Male, dkk. “Prediksi Potensi Antikanker Senyawa Turunan Xanthon Menggunakan Hubungan Kuantitatif Struktur dan Aktivitas (HKSA)”. *Chem.Prog* 11, no. 1 (2018): h. 1-6.
- Marni, dkk. “Mempelajari Inhibisi Korosi Senyawa Khellin dan Visnagin pada Atom Besi Menggunakan Metode DFT (*Density Functional Theory*). *Jurnal Litbang Industri* 9, no. 2 (2019): h. 111-118.
- Mulatsari, dkk. “Analisis QSAR Senyawa Turunan Diosmetin sebagai Antioksidan Baru dengan Metode Semi Empirik AM1”. *Farmasi Indonesia* 11, no. 2 (2019): h. 51-57.
- Nindita dan Sanjaya. “Modeling Hubungan Kuantitatif Struktur dan Aktivitas (HKSA) Pinocembrin dan Turunannya sebagai Antikanker”. *Unesa Journal of Chemistry* 3, no.2 (2014): h. 26-34.

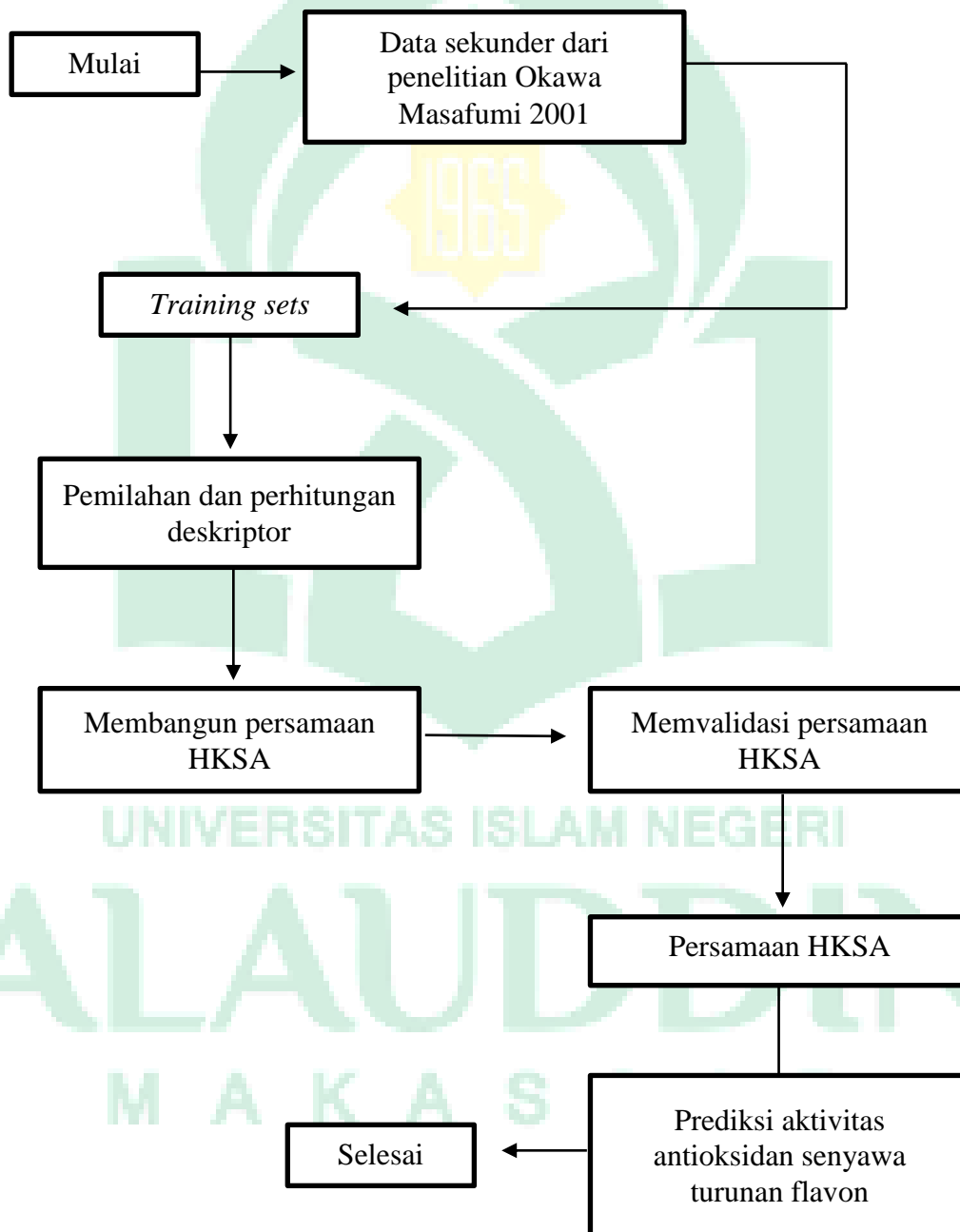
- Ningrum Dita Widia, dkk. "Uji Aktivitas Antioksidan Senyawa Flavonoid dari Ekstrak Etanol Daun Johar (*Senna simea* Lamk)". *Kinia Sains dan Aplikasi* 20, no. 3 (2017); h. 123-129.
- Nisa, dkk. "Uji Aktivitas Antioksidan pada Modifikasi Senyawa Khrisin dengan Gugus Alkoksi Menggunakan Metode *Recife Model 1* (RM 1)". *Jurnal MIPA* 38, no. 2 (2015); h. 160-168.
- Noor, dkk. "Analisis Hubungan Kuantitatif Struktur dan Aktivitas Antimalaria Senyawa Turunan Quinoxalin". *MIPA* 39, no. 1 (2016); h. 51-56.
- Nugraha Gerry, dkk. "Pengembangan Senyawa Turunan Indol sebagai Anti Histamin 4 dengan Pemodelan Hubungan Kuantitatif Struktur Aktivitas Menggunakan Metode Semi Empiris Austim Model 1 (AM1)". *Ilmiah Multi Science Kesehatan* 11 (2019); h. 213-224.
- Okawa, dkk. "DPPH (1,1-Diphenyl-2-Picrylhydrazyl) Radical Scavenging Activity of Flavonoids Obtained from Some Medicinal Plants". *Biol.Pharm.Bull* 10, no. 24 (2001); h. 1202-1205.
- Patrick, Graham, L. an Introduction to Medicinal Chemistry. Oxford: Oxford University Press, 2013.
- Perwira, dkk. "Analisis Hubungan Kuantitatif Struktur Aktivitas Antioksidan Senyawa Turunan Apigenin". *Indonesian Journal of Chemical Science* 4, no.3 (2015); h. 212-216.
- Pietta. "Flavonoids As Antioxidants". *Journal of Natural Products* 63 no. 7 (2000); h. 1035-1042.
- Pongajow, dkk. "Penentuan Geometri dan Karakteristik Ikatan Senyawa Kompleks Ni(II)-dibutilditiokkarbamat dengan Menggunakan Metode *Density Functional Theory*" *IJAS* 7, no. 2 (2017); h. 33-36.
- Rakhman, dkk. "1.10-Phenantroline as Anti-Radiation Uv Agent: Spectrophotometry Analysis and Modeling". *Global Journal* 18 (2018); h. 25-29.
- Rakhman, dkk. "Kajian Senyawa Turunan Benzopirazin sebagai Antimalaria Menggunakan Metode HKSA dan MLR". *Kimia dan Pendidikan* 4, no. 2 (2019); h. 112-126.
- Rakhman, dkk. "Kajian Senyawa Turunan Benzopirazin Sebagai Antimalaria Menggunakan Metode HKSA dan MLR". *Kimia dan Pendidikan* 4, no.2 (2019); h. 109-123.
- Ramadani Mery. "Upaya Penundaan Proses Penuaan (Degeneratif) Menggunakan Antioksidan dan Terapi Sulih Hormon". *Kesehatan Masyarakat* 5, no. 1 (2011); h. 36-40.
- Rosahdi, dkk. "Uji Aktivitas Daya Antioksidan Buah Rambutan Rapih dengan Metode DPPH". *Edisi Juli* 7, no. 1 (2013); h. 1-15.
- Sabet Razieh, dkk. "QSAR Study of Isatin Analogues as In Vitro Anti-Cancer Agents". *Medicinal Chemistry* 45 (2010); h. 113-118.
- Saputra Andrian, dkk. "Aplikasi Regresi Komponen Utama untuk Analisis Hubungan Kuantitatif Struktur-Aktivitas Antikanker Senyawa Turunan Naftoquinon". *Molekul* 8, no.2 (2013); h. 111-122.

- Shekhar dan Anju. "Antioxidant Activity by DPPH Radical Scavenging Method of *Ageratum conyzoides* Linn. Leaves". *American Journal of Ethnomedicine* 1, no. 4 (2014): h. 244-249.
- Simajuntak Evirosa dan Zulham. "Superoksida Dismutase (SOD) dan Radikal Bebas". *Keperawatan dan Fisioterapi* 2, no. 2 (2020): h. 124-129.
- Simamora Adelina. "Flavonoid dalam Apel dan Aktivitas Antioksidannya". *Kedokteran Meditek* (2009): h. 1-16.
- Sudirman Sabri, dkk. "Identifikasi Struktur Senyawa Antioksidan Buah Lindur". *JPHPI* 19, no. 2 (2016): h. 94-99.
- Syarif dan Rully. "Hubungan Kuantitatif Antara Struktur dan Aktivitas Antioksidan Senyawa Flavonoid dengan Menggunakan Metode Semiempiris AM1". *Jurnal Penelitian Sains*, no. 17 (2005): h. 52-65.
- Utomo, dkk. "Analisis Hubungan Kuantitatif Struktur dan Aktivitas Analgesik Senyawa Turunan Meperidin Menggunakan Metode Semiempiris AM1". *Kimia dan Pendidikan Kimia* 2, no. 3 (2017): h. 158-168.
- Wahdaningsih, dkk. "Aktivitas Penangkap Radikal Bebas dari Batang Pakis (*Alsophila glauca* J. Sm)". *Majalah Obat Tradisional* 16, no. 3 (2011): h. 156-160.
- Wang, dkk. "Bioactive flavonoids in medicinal plants: Structure, activity and biological fate". *pharmaceutical sciences*, no. 13 (2018): h. 12-23.
- Werdashari Asri. "Peran Antioksidan Bagi Kesehatan". *Biotek Medisina Indonesia* 3 no. 2 (2014): h. 59-68.
- Yinay Kuma1, Ramzi S. Cotran & Stanley L. Robbins. Robbins Basic Pathology 7th. BUKU AIAR PATOLOGI ROBBINS, Ed.7, Vol.1. Terj. dr. Muhammad Asroruddin, dr. Huriawati Hartanto & dr. Nurwany Darmaniah. Jakarta. Kedokteran EGC, 2004.
- Younson. Antioksidan Manfaat Vit C & E bagi Kesehatan. Jakarta. Arcan, 2005.
- Yuslianti. Pengantar Radikal Bebas dan Antioksidan. Yogyakarta. Deepublish, 2008.

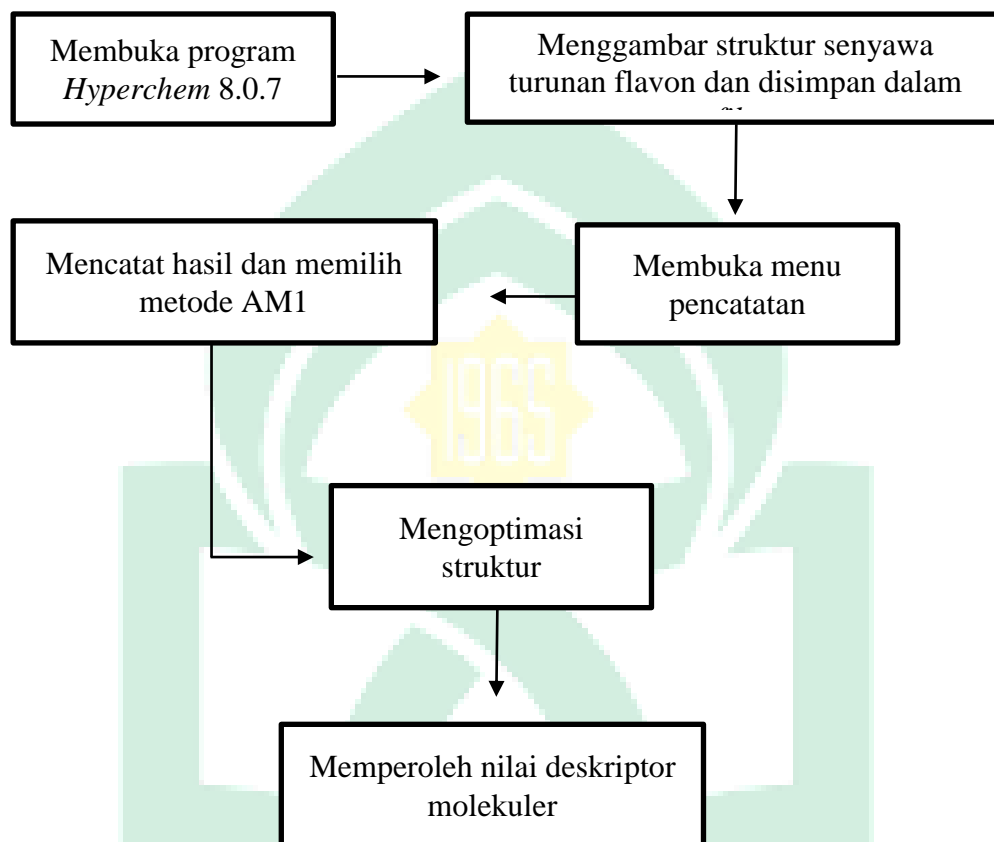
LAMPIRAN

Lampiran 1. Alur Penelitian

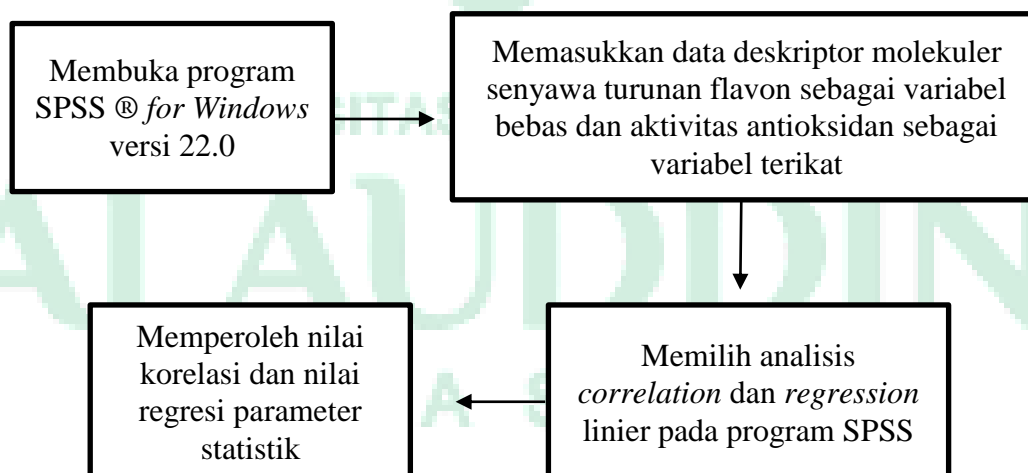
1.1 Hubungan Kuantitatif Struktur-Aktivitas



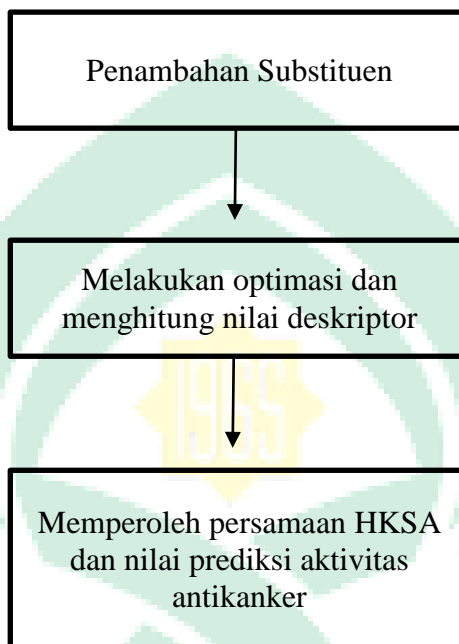
1.2 Optimasi Geometri



1.3 Analisis Statistik HKSA

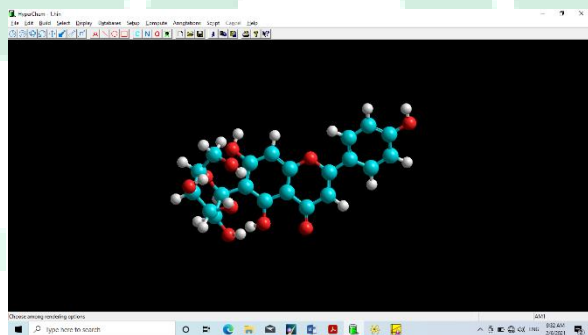


1.4 Perhitungan Nilai Aktivitas Antikanker Prediksi



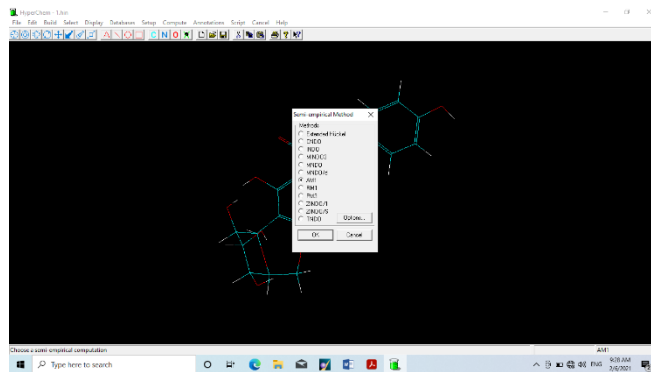
Lampiran 2. Prosedur Kerja HKSA

2.1 Pembuatan dan Pemodelan Struktur 3D pada *HyperChem*



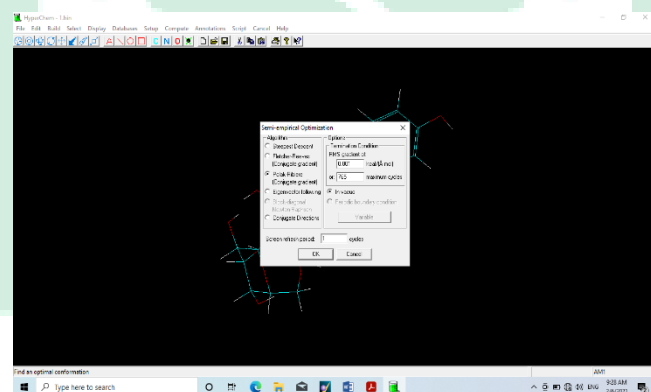
Struktur yang telah dibuat pada *HyperChem* selanjutnya ditambahkan atom hidrogen dengan cara *Build* → *Add H & Model Build* → klik kiri

2.2 Pemilihan Metode Semiempiris Austin Model



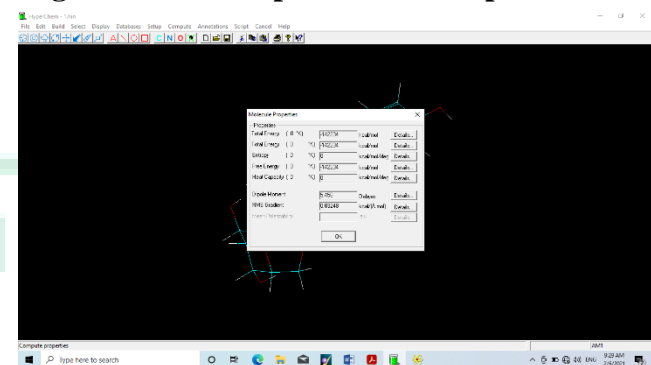
Pemilihan metode semiempiris dengan cara pilih *Setup* → *Semi-empirical* → metode *AM1* → *OK*

2.3 Optimasi Struktur



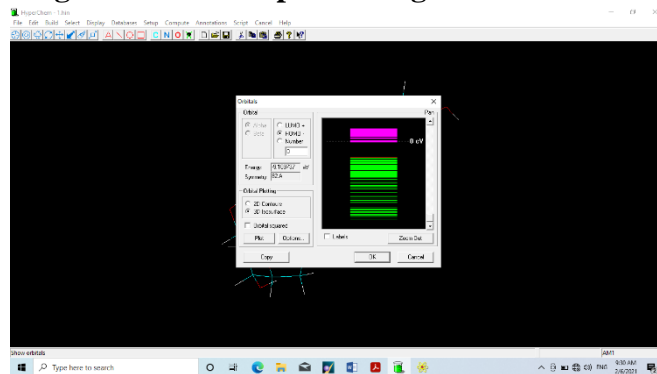
Optimasi dilakukan dengan cara pilih *Compute* → *Geometry Optimization* → *Ceklis Polak – Ribiere* dan *In_vacuo* → *OK*

2.4 Perhitungan Nilai Deskriptor Momen Dipol



Nilai momen dipol dapat dihitung dengan cara *Compute* → *Single Point* → *Properties*

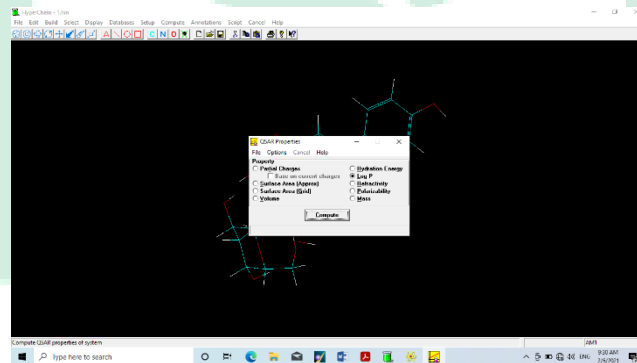
2.5 Perhitungan Nilai Deskriptor Energi HOMO & LUMO



Nilai energi HOMO dan LUMO dihitung dengan cara pilih *Compute* → *Single Point*

→ *Orbitals* → pilih HOMO dan LUMO

2.5 Perhitungan Nilai Deskriptor HKSA



Nilai deskriptor dihitung dengan cara pilih *Compute* → *Single Point* → *QSAR*

Properties → Pilih deskriptor → klik *Compute*

UNIVERSITAS ISLAM NEGERI
ALAUDDIN
MAKASSAR

2.5 Data Etot dan Muatan Bersih Atom Bentuk File log(*LOG)

```

1 - Notepad
File Edit Format View Help
Number of Double Occupied Levels = 82
Change on the System = 0
Total Orbitals = 144

Starting AM1 calculation with 144 orbitals

Iteration = 1 Difference = 28861.52429
Iteration = 2 Difference = 338.72150
Iteration = 3 Difference = 45.77726
Iteration = 4 Difference = 7.70647
Iteration = 5 Difference = 0.61203
Iteration = 6 Difference = 0.18595
Iteration = 7 Difference = 0.02291
Iteration = 8 Difference = 0.00359
Energy=-5573.701194 kcal/mol Gradient=0.032551 Symmetry=C1

ENERGIES AND GRADIENT
Total Energy = -142234.4786097 (kcal/mol)
Total Energy = -226.665041595 (a.u.)
Binding Energy = -5573.7011937 (kcal/mol)
Isolated Atomic Energy = -136660.7774160 (kcal/mol)
Electronic Energy = -1122941.6141491 (kcal/mol)
Core-Core Interaction = 988707.1355394 (kcal/mol)
Heat of Formation = -347.3811937 (kcal/mol)
Gradient = 0.0325512 (kcal/mol/Ang)

MOLECULAR POINT GROUP
C1

EIGENVALUES (eV)
Symmetry: 1 A 2 A 3 A 4 A 5 A
Eigenvalue: -42.433508 -41.797533 -40.767127 -40.210304 -39.698459
Symmetry: 6 A 7 A 8 A 9 A 10 A
Eigenvalue: -38.791519 -38.316685 -38.190244 -38.026969 -37.400692

1 8 -0.137141 2.04239 1.37657 0.64122 15.99900
2 6 0.133552 1.99983 2.68319 0.16807 12.01100
3 6 -0.220675 0.84754 3.31610 -0.14699 12.01100
4 6 0.318796 -0.46673 2.68285 0.00507 12.01100
5 6 -0.262300 -0.40533 1.29759 0.48795 12.01100
6 6 0.211654 -1.56977 0.50655 0.67678 12.01100
7 6 -0.254728 -1.49887 -0.86266 1.00591 12.01100
8 6 0.170786 -0.24226 -1.31366 1.40664 12.01100
9 6 -0.301847 0.92843 -0.55884 1.35433 12.01100
10 6 0.174560 0.83491 0.72363 0.79908 12.01100
11 6 -0.101814 3.34401 3.24394 0.03471 12.01100
12 6 -0.063719 3.53373 4.63134 0.14351 12.01100
13 6 -0.163431 4.80063 5.18374 0.00981 12.01100
14 6 0.101707 5.89602 4.33593 -0.23313 12.01100
15 6 -0.222479 5.72119 2.94793 -0.33742 12.01100
16 6 -0.048159 4.44587 2.40994 -0.20076 12.01100
17 8 -0.280797 -1.51485 3.28153 -0.26569 15.99900
18 8 -0.218678 -2.74393 1.18756 0.53834 15.99900
19 8 -0.244876 7.12221 4.94154 -0.35679 15.99900
20 8 -0.217787 -0.21240 -2.52065 2.13602 15.99900
21 8 -0.246720 -2.26823 -3.16031 1.17404 15.99900
22 6 0.069329 -2.67562 -1.79799 1.02359 12.01100
23 6 0.018560 -3.78181 -1.72011 -0.05413 12.01100
24 6 -0.035220 -3.43840 -2.42656 -1.36968 12.01100
25 6 -0.013282 -3.05118 -3.87684 -1.07166 12.01100
26 6 -0.027726 -2.01318 -3.99318 0.04997 12.01100
27 6 -0.052676 -0.57144 -3.92924 -0.46315 12.01100
28 8 -0.329592 -4.26425 -0.42296 -0.30556 15.99900
29 8 -0.331326 -2.42643 -1.66961 -2.00982 15.99900
30 8 -0.321841 -2.65186 -4.54915 -2.24760 15.99900
31 8 -0.350135 -0.35891 -2.95344 -1.46008 15.99900
32 1 0.168054 0.85083 4.34441 -0.53876 1.00800
33 1 0.158873 1.90068 -0.94675 1.68488 1.00800
34 1 0.146491 2.67283 5.28970 0.34158 1.00800
35 1 0.157819 4.96155 6.26812 0.09160 1.00800
    
```

Membuka file hasil rekaman Star log dan Stop Log

2.5 Analisis Regresi Multilinear

The screenshot shows the IBM SPSS Statistics Data Editor with a Linear Regression dialog box open. The dependent variable is 'Log(CSO)'. The independent variables are 'MD', 'EHOMO', and 'ELUMO'. The dialog box also shows options for 'Method' (set to Enter), 'Case Labels', and 'WLS Weight'. The background data table has the following columns: MD, EHOMO, ELUMO, SAA, SAG, VOLUME, EH, LogP, Refraktivitas, Polarisabilit, Massa, ETot, HF, qO1, and qC2. The data rows are numbered 1 through 23.

M A K A S S A R

2.5 Hasil Validasi Persamaan HKSA pada Program SPSS

→ Regression

Variables Entered/Removed^a

Model	Variables Entered	Variables Removed	Method
1	qC8, qC15, qO17, qC2, MD ^b		Enter
2		qC8	Backward (criterion: Probability of F-to-remove >= .100).
3		MD	Backward (criterion: Probability of F-to-remove >= .100).
4		qO17	Backward (criterion: Probability of F-to-remove >= .100).

a. Dependent Variable: LogIC50

b. All requested variables entered.

Model Summary

Model	R	R Square	Adjusted R Square	Std. Error of the Estimate
1	.976 ^a	.952	.832	.2722639
2	.976 ^b	.952	.887	.2230788
3	.944 ^c	.891	.810	.2900139
4	.917 ^d	.841	.777	.3141523

a. Predictors: (Constant), qC8, qC15, qO17, qC2, MD

b. Predictors: (Constant), qC15, qO17, qC2, MD

c. Predictors: (Constant), qC15, qO17, qC2

d. Predictors: (Constant), qC15, qC2

ANOVA^a

Model		Sum of Squares	df	Mean Square	F	Sig.
1	Regression	2.947	5	.589	7.952	.115 ^b
	Residual	.148	2	.074		
	Total	3.095	7			
2	Regression	2.946	4	.737	14.800	.026 ^c
	Residual	.149	3	.050		
	Total	3.095	7			
3	Regression	2.759	3	.920	10.934	.021 ^d
	Residual	.336	4	.084		
	Total	3.095	7			
4	Regression	2.602	2	1.301	13.182	.010 ^e
	Residual	.493	5	.099		
	Total	3.095	7			

a. Dependent Variable: LogIC50

b. Predictors: (Constant), qC8, qC15, qO17, qC2, MD

Coefficients^a

Model		Unstandardized Coefficients		Standardized Coefficients	t	Sig.
		B	Std. Error	Beta		
1	(Constant)	-.822	10.014		-.082	.942
	qO17	-44.604	25.799	-.367	-1.729	.226
	qC15	-18.782	5.331	-.889	-3.523	.072
	MD	-.056	.076	-.312	-.737	.538
	qC2	-93.913	40.168	-.624	-2.338	.144
	qC8	-.245	2.073	-.054	-.118	.917
2	(Constant)	-.714	8.171		-.087	.936
	qO17	-43.425	19.497	-.357	-2.227	.112
	qC15	-18.455	3.733	-.874	-4.944	.016
	MD	-.048	.025	-.266	-1.939	.148
	qC2	-92.486	31.393	-.615	-2.946	.060
	qC8					
3	(Constant)	4.375	10.060		.435	.686
	qO17	-33.392	24.438	-.275	-1.366	.244
	qC15	-20.339	4.686	-.963	-4.341	.012
	qC2	-115.395	37.812	-.767	-3.052	.038
	qC8					
	qO17					
4	(Constant)	17.127	4.068		4.210	.008
	qC15	-22.705	4.717	-1.075	-4.814	.005
	qC2	-144.984	33.576	-.964	-4.318	.008
	qO17					

a. Dependent Variable: LogIC50

Excluded Variables^a

Model		Beta In	t	Sig.	Partial Correlation	Collinearity Statistics
						Tolerance
2	qC8	-.054 ^b	-.118	.917	-.083	.115
3	qC8	.255 ^c	1.534	.223	.663	.733
	MD	-.266 ^c	-1.939	.148	-.746	.856
4	qC8	.233 ^d	1.155	.312	.500	.737
	MD	-.185 ^d	-.991	.378	-.444	.921
	qO17	-.275 ^d	-1.366	.244	-.564	.672

a. Dependent Variable: LogIC50

b. Predictors in the Model: (Constant), qC15, qO17, qC2, MD

c. Predictors in the Model: (Constant), qC15, qO17, qC2

d. Predictors in the Model: (Constant), qC15, qC2

UP

ALAUDDIN

M A K A S S A R

BIOGRAFI



Arnadi Nirwan atau biasa dipanggil babol kelahiran Dawi-Dawi, 23 Januari 2000. Anak dari pasangan Nirwan dan Jumase. Anak kelima dari tujuh bersaudara. Jenjang pendidikan pertama kali ditempuh di SD Negeri 1 Tonggoni (2005), MTSs Nurul Yaqin Dawi-Dawi (2011), SMA Negeri 1 Pomala (2014). Setelah tamat dari SMA Negeri 1 Pomala penulis melanjutkan pendidikan di Universitas Islam Negeri Alauddin

Makassar dengan program studi Kimia Fakultas Sains dan Teknologi angkatan 2017.

UNIVERSITAS ISLAM NEGERI
ALAUDDIN
M A K A S S A R